



## کانی‌شناسی، ژئوشیمی و منشأ کانه‌زایی آهن و مس در توالی آتشفسانی-رسوبی هرمز، گنبد نمکی زندان، بندر لنگه

حبيب بیابانگرد<sup>۱\*</sup>، فاروق عالیان<sup>۱</sup> و مرضیه بازآمد<sup>۲</sup>

(۱) گروه زمین‌شناسی، دانشکده علوم پایه، دانشگاه سیستان و بلوچستان، زاهدان، ایران

(۲) گروه زمین‌شناسی، دانشکده علوم پایه، دانشگاه پیام نور، بندرعباس، ایران

دریافت مقاله: ۱۳۹۳/۱۲/۲۱، پذیرش: ۱۳۹۵/۱۰/۲۷

### چکیده

گنبد نمکی زندان در شمال شهرستان بندرلنگه و در پهنه زاگرس قرار دارد. این گنبد نمکی از واحدهای درهم سازند هرمز شیل، مارن و خاک سرخ به سن پر کامبرین تشکیل شده است و در سازندهای میشان (مارن خاکستری و آهک‌های رسی)، آغاجاری (ماسه‌سنگ آهکی و مارن‌های سرخ‌رنگ) و بختیاری (کنگلومرا و ماسه‌سنگ‌های آهکی چرتی) بروزد یافته است. در داخل سازند هرمز کانه‌زایی آهن و مس رخداده است. فراوان‌ترین شکل کانه‌زایی آهن به صورت لایه‌های هماتیت-لیمونیت-اولیزیست (خاک سرخ) در واحد H1 است. شکل دیگر کانه‌زایی آهن با عیار بالا، اما گسترش محدود، محلو طی از هماتیت و مگنتیت در سنگ‌های دیابازی ناشی از فعالیت‌های ماگمایی در آخرین مرحله تشکیل واحدهای سازنده گنبد نمکی (H4) در منطقه است. کانسنسنگ آهن منطقه شامل کانه‌های هماتیت، اسپیکولا ریت، مگنتیت، گوتیت و دیگر اکسیدها و هیدروکسیدهای آهن است. کانه‌زایی مس (پیریت و کالکوپیریت) به صورت پراکنده در امتداد لایه‌بندی واحدهای توف و شیل واحد H1 سازند هرمز صورت گرفته است که در اثر فرآیندهای سوپرژن به ملاکیت تبدیل شده است. رابطه معناداری بین میزان فراوانی عناصر با میزان آهن در کانسنسنگ‌های آهن وجود دارد؛ به طوری که با کاهش میزان  $K_2O$ ,  $TiO_2$ ,  $SiO_2$  و افزایش میزان  $Ni$  و  $Cr_2O_3$  مقدار آهن افزایش می‌یابد. حضور مقادیر کم عناصر نامتحرك در گنبد نمکی زندان و دگرسانی‌های پروپلیتیک، سرسیتی و سیلیسی و کربناتی شدن موجود در آن می‌تواند نشانی از احتمال منشأ سیالی شورابهای برای کانسار آهن این گنبد باشد؛ هر چند برای اثبات این مهم احتیاج به بررسی‌های ایزوتوپی و سیالات درگیر است، این کانسار را می‌توان در ردیف کانسارهای نوع VMS طبقه‌بندی کرد.

**واژه‌های کلیدی:** گنبد نمکی زندان، سازند هرمز، کانه‌زایی آهن و مس، بندرلنگه

### مقدمه

به اعتقاد آقانباتی (Aghanabati, 2007) در نیمه جنوب شرقی تبخیری تشکیل شده و رسوبات کولابی به همراه روانه‌های آذرین مربوط به فاز گرانیت‌زایی کاتانگایی در آن انباسته شده است؛ زاگرس به‌ویژه در حدفاصل میان گسل‌های کازرون و میناب در

در فاصله هفت کیلومتری شرق آن قرار دارد.

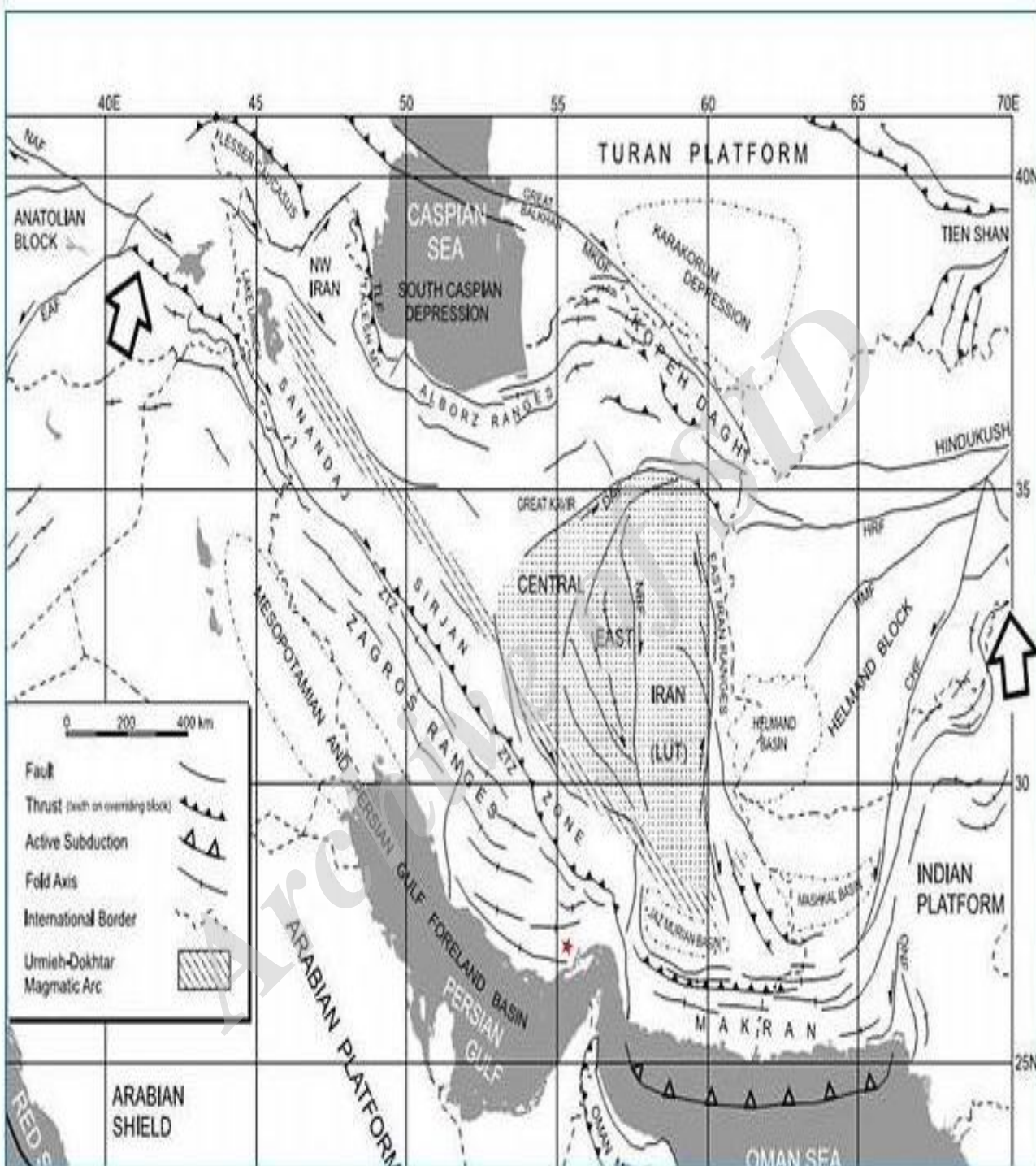
### زمین‌شناسی

بر اساس تقسیمات زمین‌شناسی- ساختاری ایران (Stocklin, 1968)، گند نمکی زندان در بخش جنوب شرقی پهنه زاگرس قرار دارد (شکل ۱). در نقشه زمین‌شناسی منطقه (شکل ۲)، مهمترین واحدهای موجود شامل سازند هرمز به سن پر کامبرین، میشان، آغازگاری و بختیاری به سن سنوزوئیک هستند (Alian et al., 2014) and Bazamad, 1991) که در زیر به اختصار شرح داده شده است. قدیمی ترین سازند منطقه سازند هرمز با سن پر کامبرین است که از چهار عضو H1، H2، H3 و H4 تشکیل شده است (Ahmadzadeh Heravi et al., 1991).

واحد H1 شامل تناوبی رنگارنگ از مارن‌های کرمی رنگ متمایل به سفید، شیل‌های ارغوانی، میان‌لایه‌های اندریت، سنگ آهک خاکستری نازک‌لايه، ماسه‌سنگ دانه‌ریز قرمز رنگ با میان‌لایه‌هایی از توف سبز کم‌رنگ نازک‌لايه به همراه کانی سازی هماتیت، اولیثیست و کانی زایی پراکنده سولفیدی است (شکل A-۳). در واحد H2 از سازند هرمز تناوبی از مارن‌های کرمی رنگ، شیل‌های ارغوانی، میان‌لایه‌های اندریت، سنگ آهک خاکستری، ماسه‌سنگ دانه‌ریز قرمز رنگ با میان‌لایه‌هایی از توف سبز دیده می‌شود. در بخش‌هایی دیگر از این واحد، ماسه‌سنگ‌های سیلتی نازک‌لايه با آثار ریل مارک، ریزموچهای فراوان قابل تفکیک است (شکل ۳-B). طبقات نازک‌لايه‌ای از سنگ آهک سیاه‌رنگ سرشار از آثار گوناگون فسیلهای جلبک (واحد H3)، گاه در سازند هرمز به چشم می‌خورد (شکل ۳-C). در برخی بروزندهای سازند هرمز (واحد H4) شامل ماسه‌سنگ آهکی کرم- خاکستری دانه‌ریز نازک‌لايه، شیل خاکستری با میان‌لایه‌هایی از سنگ آهک ماسه‌ای زرد کم‌رنگ تا خاکستری وجود دارد که بروزندهای گسترده‌ای در نیمه شمالی و میانی گند نمکی دارد. برخی از سنگ‌های این واحد دارای رنگ قهوه‌ای (شکل ۳-D) هستند.

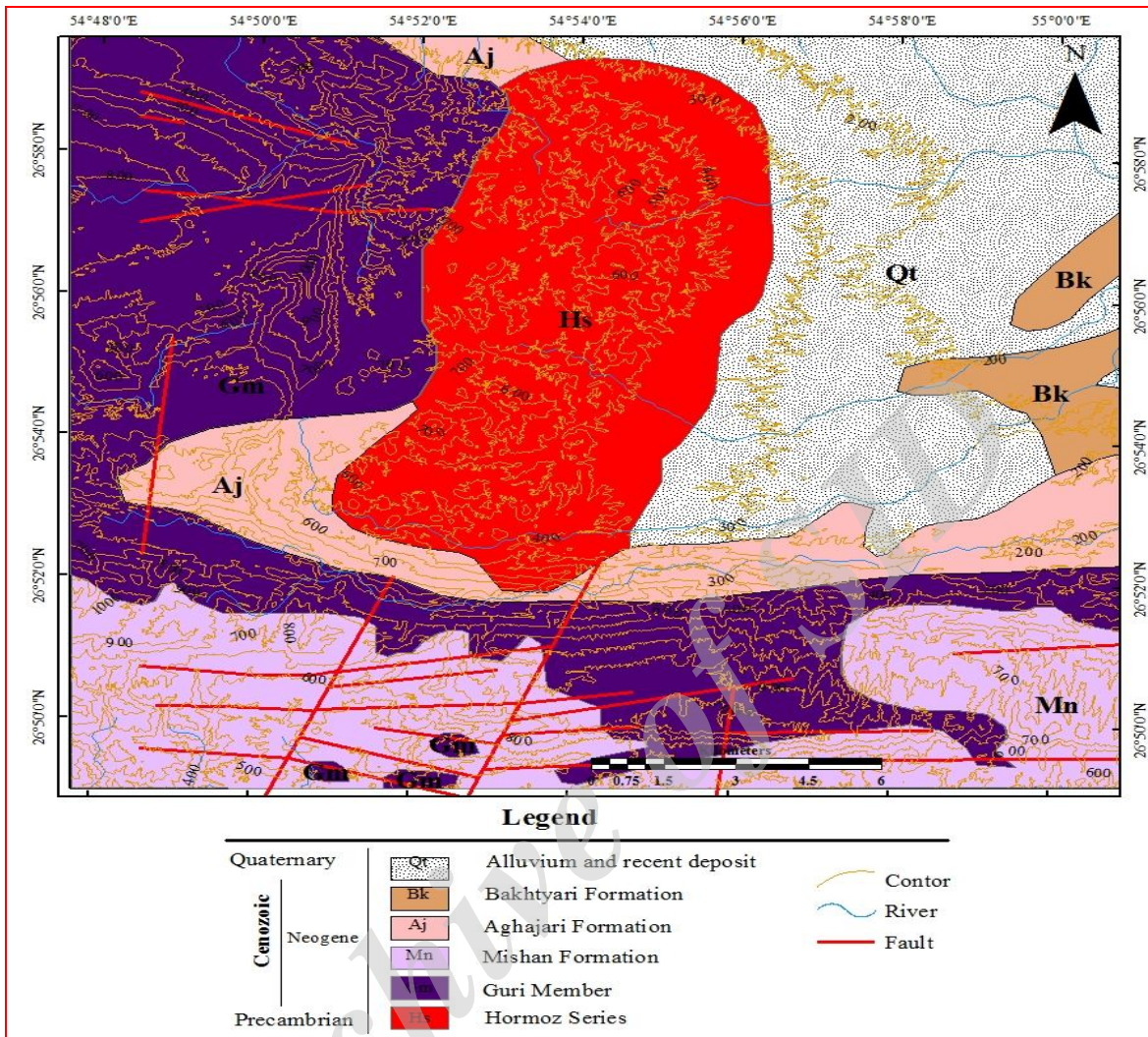
در حالی که سن سنجی انجام شده توسط رمضانی و تاکر (Ramezani and Tuker, 2003) موجود در تبخیری‌های هرمز را اوایل کامبرین نشان می‌دهند. به عقیده این محققان سن این توده‌های نفوذی با فاز گرانیت زایی کاتانگایی متفاوت است. به‌حال این رسوبات و سنگ‌های ماگمایی همراه در حال حاضر به صورت گنبدهای نمکی متعدد در این ناحیه بروزنده دارند. هر گند نمکی شامل یک هسته مرکزی است که از نمک تشکیل شده است و بخشی که اطراف هسته مرکزی را احاطه می‌کند و از سنگ‌های رسوبی محلی تشکیل می‌شود. سنگ‌های رسوبی محلی اغلب از رسوبات نمکی هسته مرکزی جوان‌تر هستند. گنبدهای نمکی میزان ذخایر نمک خوراکی، گچ، پتانس و ذخایر آهن (اغلب هماتیتی و به صورت خاک سرخ) هستند. گند نمکی زندان یکی گنبدهای نمکی جنوب ایران است که از لحاظ کانه‌زایی کمتر به آن پرداخته شده است. از بررسی‌های انجام شده در محدوده این Nadari et al., 2002) اشاره کرد. این پژوهشگران واحدهای سنگی بازیک موجود در این گند را با روش نقشه‌برداری زاویه طیفی بررسی کرده‌اند و بیشتر واحدها را با ترکیب دیبازی و بازالتی معرفی کرده‌اند. پردازش تصاویر ماهواره‌ای ASTER و ETM در Ashrafpour and Asadzade, 2002) انجام شده است. عطاپور و آفتابی (Asadzade, 2002) آن را کانی سازی آهن از نوع راپیتان معرفی کرده‌اند. این مقاله به بررسی پتروگرافی، ژئوشیمی و کانه‌زایی آهن و مس گند نمکی زندان می‌پردازد.

گند نمکی زندان در ۸۰ کیلومتری شمال شهرستان بندرلنگه و ۱۱۰ کیلومتری غرب شهرستان بندر خمیر در استان هرمزگان قرار دارد. بهترین راه دسترسی به آن، جاده آسفالتی بندرعباس به بندر خمیر و بندرعباس به بندرلنگه است که به ترتیب بعد از گذشتن از روستاهای دژگان، لمزان، پدل و هرا به گند نمکی می‌رسد. روستای هرا نزدیک ترین مرکز جمعیتی به این گند و



شکل ۱. نقشه ساده شده ساختاری ایران و مناطق مجاور (Alavi, 1991). فلش های بزرگ نحوه عمل سیستم کوه زایی آپ- هیمالیا. CHF: گسل چمن، DRF: گسل درونه، EAF: گسل آناتولی شرقی، HRF: گسل هرات، HMF: گسل هلمند، MKDF: گسل اصلی کپه داغ، NAF: گسل آناتولی شمال، ONF: گسا، ناسنده، TZT: تراست - اماج نا - محال، گنبد نمک، زندان با ستاده نشان، داده شده است.

**Fig. 1.** Simplified structural map of Iran and adjacent regions (Alavi, 1991). Large arrows illustrate the syntaxes of the Alpine-Himalayan orogenic system. CHF Chaman Fault, DRF Doruneh Fault, EAF Eastern Anatolian Fault, HRF Herat Fault, HMF Helmand Fault, MKDF Main Kopeh-Dagh Fault, NAF North Anatolian Fault, NBF Nayband Fault, ONF Ornach Nal Fault, ZTZ Zagros Thrust. Zandan salt dome is shown with a red star.



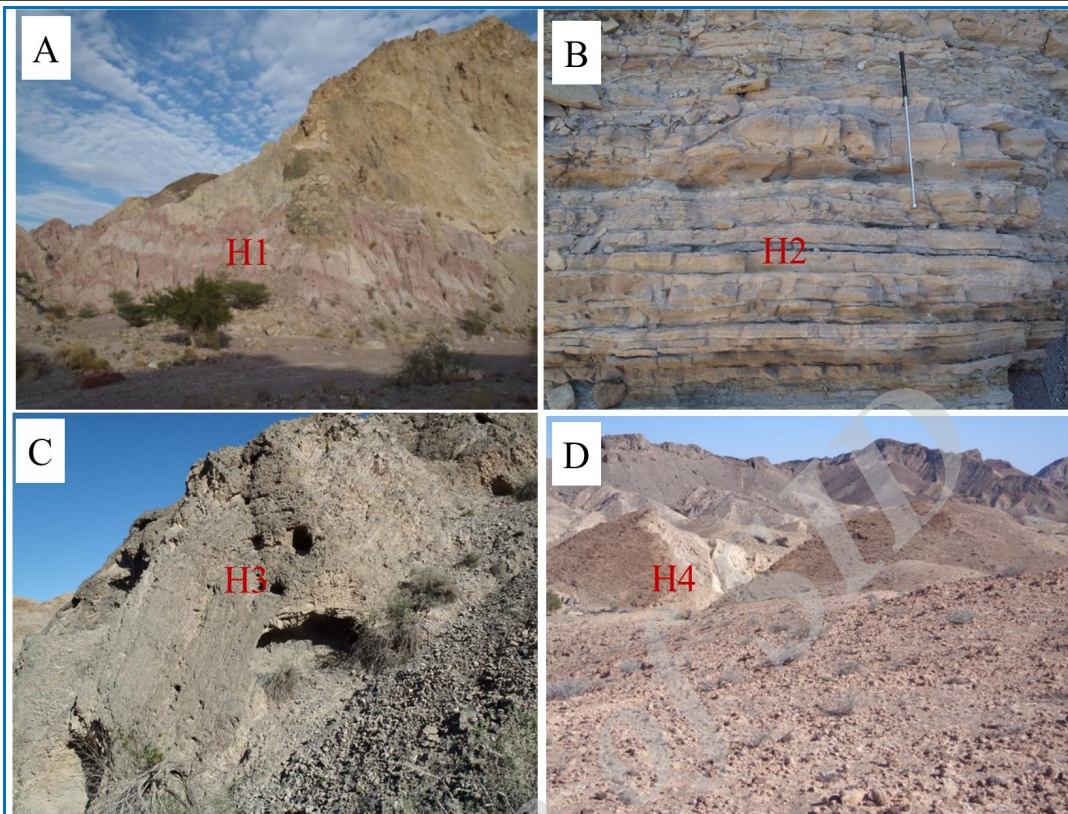
شکل ۲. بخشی از نقشه زمین‌شناسی محدوده گنبد نمکی زندان، بر اساس نقشه زمین‌شناسی ۱:۱۰۰۰۰۰ بندر لنگه با تغییرات از پارکر، ۱۹۵۸ (Parker, 1958)

**Fig. 2.** Part of geological Zandan salt dome map, based on 1: 100,000 Bandar Lengeh geological map (modified from Parker, 1958)

به نظر گسل‌های پیرامون دایک‌ها و توده‌های دیابازی حرکت رو به بالای نمک را تسهیل کرده‌اند Ahmadzadeh Heravi et al., 2001). به اعتقاد سبزه‌ای (Sabzei, 1986) تشكیل این سنگ‌های آذربایجان، حاصل خروج مagma به صورت گدازه‌های بازیک به داخل حوضه رسوبی سازند هرمز و یا تفریق در عمق است که توسط حرکت نمک بالا آمده و با گروه‌های رسوبی تبخیری درهم آمیخته است. سازندهای میشان، آغازاری و بختیاری در پیرامون گنبد نمکی برون‌زد دارند (Alian and Bazamad, 2014) (شکل A-۵ و B).

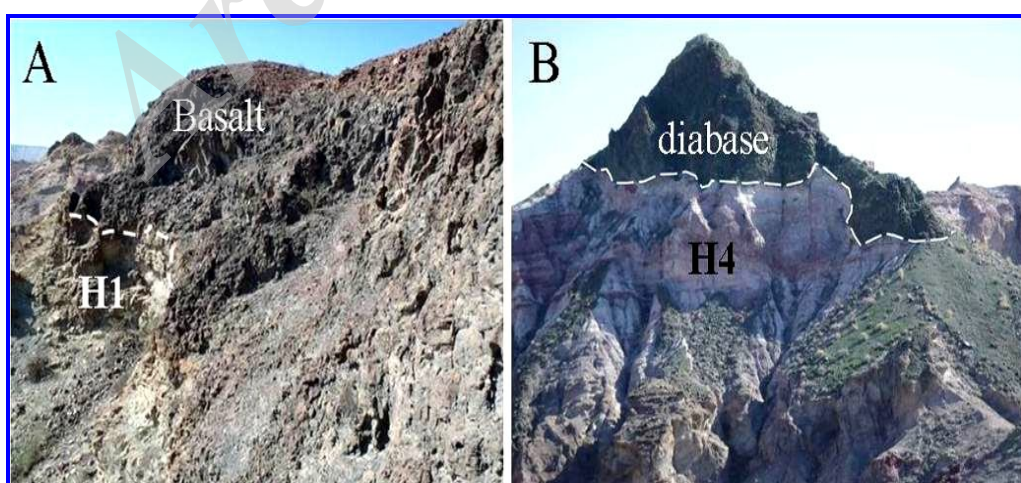
سنگ‌های آذرین موجود در گنبد نمکی زندان شامل بازالت‌های حفره‌دار و دیاباز هستند که توزیع پراکنده و ناهمانگی در آن دارند. در بخش شرقی گنبد نمکی ارتفاعات نسبتاً بلند بازالتی قرار دارد (شکل A-۴). سنگ‌های دیابازی به صورت استوک و دایک در گنبد نمکی برون‌زد دارند (شکل B-۴) و اغلب در آمیخته با رسوبات هستند؛ بنابراین با مجموعه‌های رسوبی آذربایجان هم سن هستند.

بیشتر دیابازها بافت ریزدانه دارند و در اثر عملکرد گسل‌ها و حرکت نمک در بیشتر قسمت‌ها بسیار خرد شده‌اند.



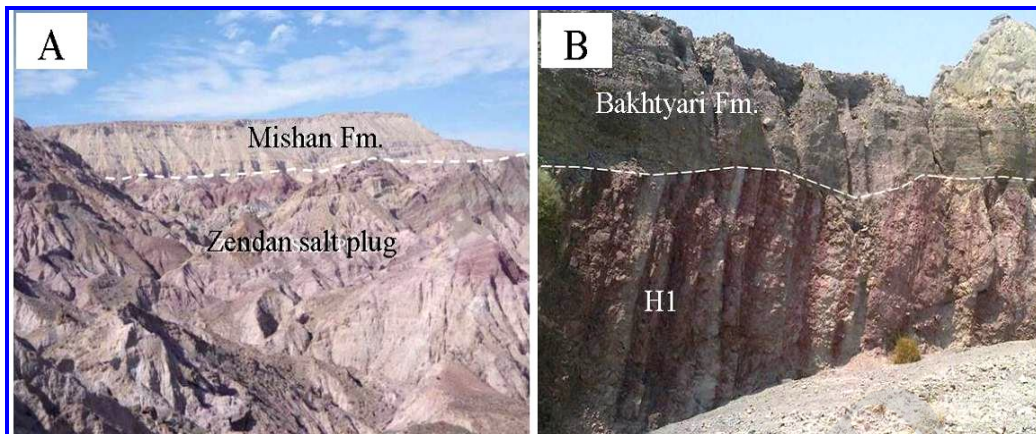
شکل ۳. A: تناوبی از لایه‌های مارن، شیل ارغوانی، انیدریت، و سنگ آهک خاکستری واحد H1، دید به سمت شمال شرق، B: لایه‌های ماسه‌سنگی واحد H2، C: رخمنون سنگ آهک سرشار از فسیل‌های جلبک، واحد H3 و D: ماسه‌سنگ‌های آهکی قهقهه‌ای رنگ در واحد H4، دید به سمت شرق

**Fig. 3.** A: Alternation of marl, purple shale, anhydrite and gray limestone layers in H1 unite, view toward the northeast, B: Sandstone layers in H2 unite, C: Algae Limestone fossiliferous outcrop in H3 unite, and D: Brown calcareous sandstones in H4 unite, view toward the east



شکل ۴. A: برونزد بازالت در بخش مرتفع گنبد نمکی، روی واحد H1 (دید به سمت غرب) و B: موقعیت دیاباز بر بالای واحد H4 در گنبد نمکی زندان

**Fig. 4.** A: basalt outcrop on high part of salt dome on the H1 unit (view towards West), and B: Diabase location on the H4 unit, in Zandan salt dome



شکل ۵. A: سازند میشان در بخش شمال غرب گنبد نمکی (دید به سمت شرق) و B: موقعیت کنگلومرات بختیاری بر روی واحد H1

**Fig. 5.** A: Mishan formation in the northwest salt dome (view toward East), B: Bakhtiari conglomerate position on the H1 unit

شده‌اند (Alian and Bazamad, 2014). در این گنبد

سنگ‌های آذرین به شرح زیر تشخیص داده شدند:

**هورنبلند میکرودیوریت:** این سنگ‌ها دارای بافت میکروگرانولار تا متوفطدانه و دارای بلورهای الواری و کشیده پلازیوکلاز (۷۵ درصد) با ماکلهای ساده و تکراری و بلورهای کشیده و منشوری هورنبلند (۱۵ درصد) هستند. در برخی نقاط بلورهای پلازیوکلاز و هورنبلند هم رشدی دارند (شکل ۶-A) و به صورت محلی توسط اپیدوت و کلریت ثانویه جانشین شده‌اند. آلکالی فلدسپار با فراوانی کم (۵ درصد) و به صورت بی‌وجه، پراکنده در فضای بین بلورهای پلازیوکلاز و هورنبلند حضور دارند. کلریت، کلسیت و اپیدوت مهم‌ترین کانی‌های ثانویه و ناشی از دگرسانی کانی‌های اولیه هستند.

**هورنبلند آندزیت:** دارای بافت دانه‌ریز و از کانی‌های اصلی پلازیوکلاز با فراوانی ۷۵ تا ۸۰ درصد حجمی و اغلب میکرولیتی تشکیل شده‌اند. بلورهای نسبتاً کشیده هورنبلند با فراوانی ۱۰ تا ۱۵ درصد در این سنگ‌ها حضور دارند. کانی‌های پلازیوکلاز به صورت فراگیر و با شدت پایین توسط کانی پرهنیت جانشین شده‌اند. بلورهای پلازیوکلاز و هورنبلند به صورت محلی توسط تجمعات کلریت و اپیدوت ثانویه جانشین شده است (شکل ۶-B).

### روش مطالعه

بررسی‌های صحرایی از گنبد نمکی زندان در طی زمان‌های مختلف و به طور مداوم انجام و از واحدهای مختلف رسوبی و آذرین آن نمونه‌برداری شد. حدود ۲۰ مقطع نازک تهیه و بررسی‌های پتروگرافی بر روی آنها انجام شد. همچنین ۱۵ مقطع صیقلی تهیه و به کمک میکروسکوپ انعکاسی بررسی شد. تعداد ۹ نمونه در آزمایشگاه زرآزمای روش شیمی‌تر برای تعیین میزان FeO و برای تعیین میزان اکسیدهای دیگر به روش XRF، مورد آنالیز قرار گرفتند. تعداد ۶ نمونه از رگه‌های پرعیار برای مقایسه سایر عناصر با هم در آزمایشگاه کانساران بینالود به روش XRF تجزیه شدند. برای تعیین عیار مس، طلا و عناصر همراه، ۹ نمونه از بخش‌های مختلف کانه‌زایی مس انتخاب و به روش پلاسمای جفت‌شده القایی<sup>۱</sup> در آزمایشگاه زرآزمای آنالیز شدند. طلا قبل از آنالیز به روش آذر محک آماده‌سازی شد و دو نمونه نیز از سنگ‌های آذرین منطقه مورد آنالیز ICP در آزمایشگاه زرآزمای قرار گرفتند.

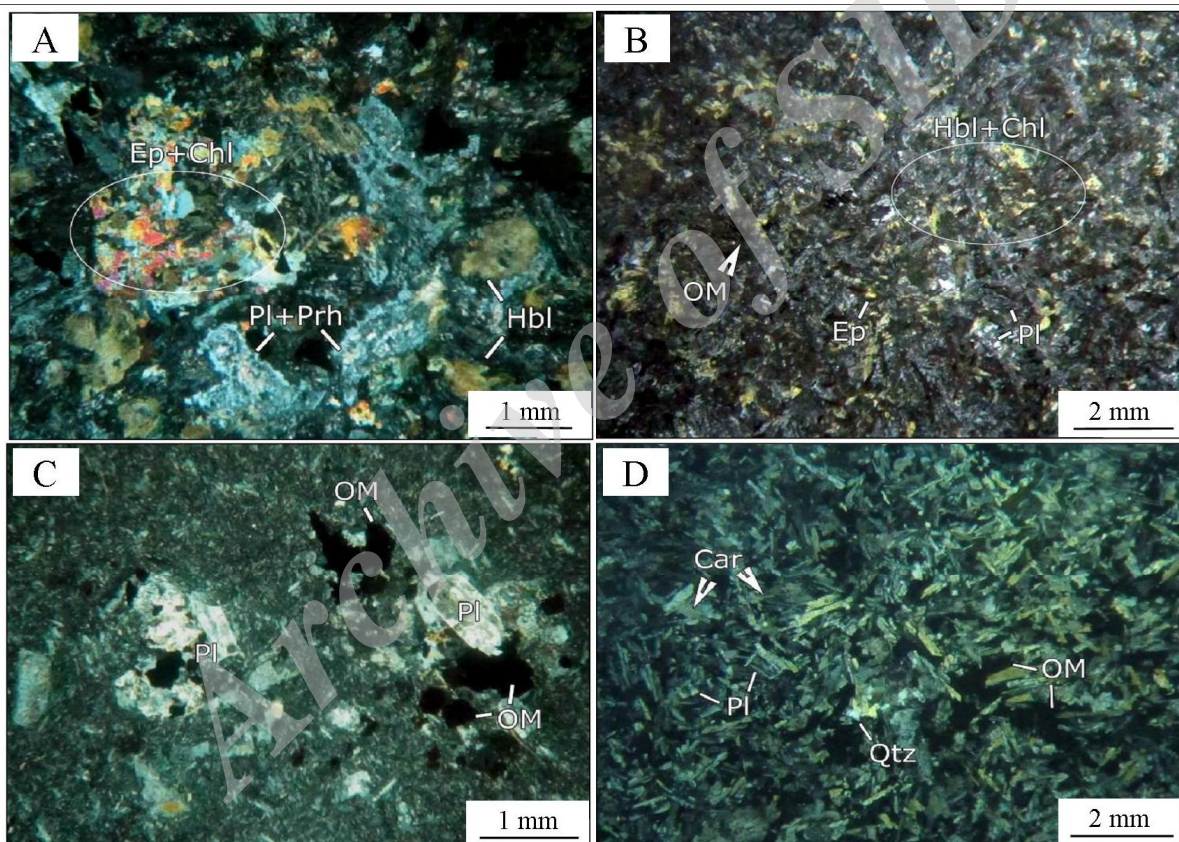
### سنگ‌شناسی

تنوع سنگی در محدوده گنبد نمکی زیاد بوده و شامل سنگ‌های رسوبی و آذرینی است که تا حدودی دگرگون و دگرسان

کلسيك (۶۵ درصد) با ماكل تكراري مهم‌ترین کانی‌های اين سنگ‌ها هستند. فضای بين بلورهای پلازیوکلاز توسيط شيشه (Fe-Ti آتشفسانی كلريتی و کانی‌های اوپک اوپلیه (اکسیدهای Ti اشغال شده است. بلورهای پلازیوکلاز با دگرسانی سرسیتی و کربناتی ضعیف و فراغیر جانشین شده‌اند (شکل ۶). کلریت، کلسيت کوارتز و سرسیت مهم‌ترین کانی‌های ثانویه اين سنگ‌ها هستند.

**لاقیت:** اين سنگ‌ها اغلب پورفیریاند و دارای کانی‌های اصلی پلازیوکلاز (۴۵ درصد) با ماكل تكراري و آلكالی فلدسبار (۴۵ درصد)، ساندین بهصورت بلورهای درشت و میکروليت‌های ریز هستند. اين بلورها و میکروليت‌های ریز در خمیره بهصورت ضعیف ولی فراغیر سرسیت شده‌اند (شکل ۶). خمیره توسيط رگه‌چه‌های کوارتز و کربنات ثانویه قطع شده است.

**دیاباز و میکروگابرو:** اين سنگ‌ها دارای بافت میکروگرانولار تا دولریتی ایترسرتال هستند. بلورهای الواری پلازیوکلاز



شکل ۶. A: همرشدی بلورهای پلازیوکلاز و هورنبلند. این کانی‌ها توسيط اپیدوت و کلریت جانشین شده‌اند، B: وجود بلورهای ریزدانه پلازیوکلاز و هورنبلند بهصورت همرشدی با یکدیگر. بلورهای پلازیوکلاز بهصورت ضعیف و انتخابی پرهنیتی و بلورهای کانی مافیک بهصورت انتخابی به مگنیتی و کلریتی تبدیل شده‌اند، C: دانه‌های ریز تا درشت کانه فلزی همراه با بلورهای فنوکریست پلازیوکلاز و D: بلورهای میکروليتی پلازیوکلاز با دگرسانی سرسیتی ضعیف و دگرسانی کربناتی محلی. (Ep: اپیدوت، Chl: کلریت، Pl: پلازیوکلاز، Prh: پرهنیت، Hbl: هورنبلند، OM: کانی‌های فلزی، Qtz: کوارتز و Car: کربنات)، علایم اختصاری از ویتنی و اونز (Whitney and Evans, 2010)

**Fig. 6.** A: Plagioclase and hornblende intergrowth. These minerals have been replaced by epidote and chlorite minerals, B: intergrowth of plagioclase and hornblende fine grain minerals. Plagioclase and mafic minerals replace selectively with prehnite mineral and magnetite and chlorite, respectively. C: fine to coarse grain ore minerals with plagioclase phenocrysts, and D: microlitic plagioclase crystals with weak sericitic alteration and locally carbonate alteration (Ep: epidote, Chl: chlorite, Pl: plagioclase, Prh: prehnite, Hbl: hornblende, OM: opaque minerals, Qtz: quartz and Car: carbonate). Abbreviations from Whitney and Evans (2010)

مقطع نازک مشخص می‌شود. دولومیت‌ها اغلب به صورت دانه‌های بی‌وجه با مرزهای انحنای دیده می‌شوند که اغلب به صورت رگه‌چهای ثانویه در فضای بین قطعات دولومیتی برشی شده جانشین شده‌اند. بلورهای نیمه‌وجه‌دار کوارتز ثانویه به صورت تجمعات بلورین محلی و رگه‌چهای ثانویه در زمینه دولومیتی جایگزین شده‌است.

**ماسه سنگ متوسط دانه (لیت آرنایت) با سیمان کربنات کلستیتی:** اجزای تخریبی این ماسه سنگ‌ها را دانه‌های کوارتز، فلدسپار و خرد سنگ ولکانیکی در زمینه سیمان کربناتی کلستیتی تشکیل می‌دهند. جورشدگی دانه‌ها در حد ضعیف تا متوسط و رسیدگی بافتی و کانی‌شناختی در حد ایمچور است. دو گروه از دانه‌های با گردش‌گی خوب و دانه‌های با گردش‌گی ضعیف در زمینه دیده می‌شود. تراکم پایین نمونه و نبود تماس بین دانه‌های تخریبی بیانگر سیمانی شدن قبل از فرآیند تراکم در نمونه است. سیمان کربناتی بین دانه‌های تخریبی به شدت آهن دار شده و در خرد سنگ‌های ولکانیکی و دانه‌های فلدسپار فرآیند دیاژنزی کلستیتی شدن دیده می‌شود.

### کانه‌زایی و کانه‌نگاری

**کانه‌زایی آهن:** کانه‌زایی آهن در گند نمکی زندان به صورت لایه‌های هماتیت-لیمونیت-اویثیست (خاک سرخ) است که در بیشتر حالات به صورت لایه‌هایی پراکنده وجود دارند. همچنین بروزنزدهایی از این لایه‌های آهن دار با تنایی از لایه‌های گچ (اغلب اندریت) دیده می‌شود (شکل A-۸ و B). فراوان‌ترین شکل رخداد کانه‌زایی آهن این لایه‌ها به دلیل رنگ شاخص خود به راحتی از دور قابل تشخیص هستند. کانه‌های آهن یادشده اغلب بدون شکل خاص بوده؛ اما گاه به صورت نوارهای باریک با ضخامت‌های در حد چندین سانتی‌متر به ویژه در لایه‌های گچی دیده می‌شود.

شکل دیگر کانه‌زایی آهن در این گند نمکی به صورت مخلوطی از هماتیت و مگنتیت (در حدود ۱۰ تا ۱۵ درصد) است که همراه با توده‌های دیابازی دیده می‌شوند. این نوع از

سنگ‌های رسوبی در گند متنوع بوده و به شرح زیر هستند:  
**آهک ریزبلور ماسه‌ای (میکراتی):** گل کربناتی بیشترین حجم این مقاطع را اشغال کرده است و دانه‌های کوارتز به صورت بلورهای نیمه‌وجه‌دار در زمینه کربناتی ریزدانه دیده می‌شوند. کانه‌های فلزی به صورت بلورهای وجه‌دار در زمینه میکراتی پراکنده هستند. در زمینه، ساختارهای استیلویلتی ثانویه شکل گرفته که در امتداد آنها اکسیدهای آهن و ناخالصی‌های مواد رسی به صورت انتخابی تمرکز یافته‌اند (شکل A-۷).

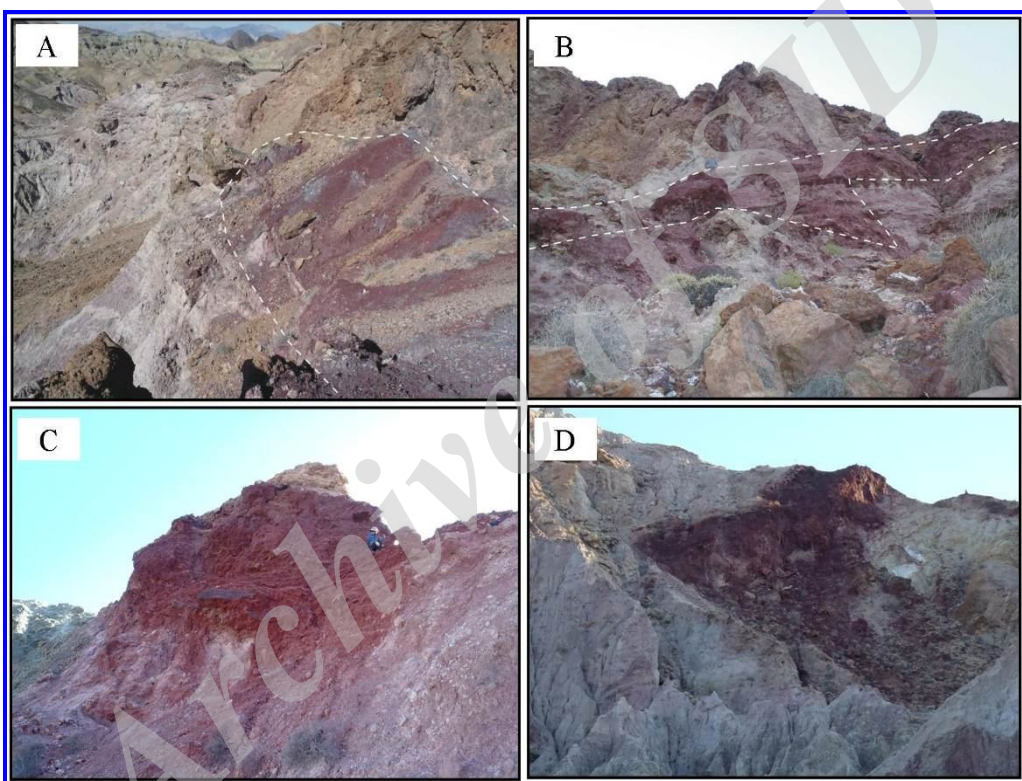
**گلستانگ سیلتی با زمینه رسهای آهن دارشده:** عمدۀ حجم این سنگ را یک زمینه ریزدانه رسی حاوی دانه‌های کوارتز تخریبی در حد سیلت تشکیل داده است. مسکویت و دانه‌های کانی اوپک به صورت فازهای تخریبی فرعی در زمینه دیده می‌شوند (شکل B-۷). این سنگ‌ها دارای جورشدگی و گردش‌گی ضعیف و رسیدگی بافتی در حد نارس هستند.  
**ماسه سنگ ریزدانه با سیمان اسپارایتی:** ماسه سنگ ریزدانه میکادر که عمدۀ حجم اجزای تخریبی بازمانده در آن، دانه‌های ریز ماسه کوارتزی به همراه پولک‌های فراوان مسکویت در زمینه سیمان کربناتی اسپارایتی است (شکل C-۷). دانه‌های کوارتز اغلب حاشیه‌های خوردشده دارند که احتمالاً در اثر واکنش با زمینه کربناتی توسعه یافته‌اند. لامینه‌بندی رسوبی اولیه در این مقاطع نشانگر تنشست آرام از حالت معلق است.

**آهک ریزدانه سیلیسی شده (مادستون):** سنگ کربناتی ریزدانه میکراتی که با کوارتز ثانویه به صورت رگه‌چهای ثانویه و بلورهای منفرد پراکنده جانشین شده است. دانه‌های کوارتز ثانویه اغلب به صورت بلورهای وجه‌دار در زمینه تشکیل شده و ناخالصی‌هایی از زمینه کربناتی در متن بلورهای وجه‌دار کوارتز ثانویه باقی‌مانده است (شکل D-۷). دانه‌های کانه فلزی به صورت پراکنده در زمینه بوده و اغلب با اکسیدهای آهن ثانویه جانشین شده است.

**سنگ دولومیتی برشی و سیلیسی شده (دولستون):** ریز بلور، تیره‌رنگ، احتمالاً حاوی مواد آلی، با فابریک برشی مشخص که با بلورهای دولومیت به صورت دو نسل ریزبلور و درشت‌بلور در

ندارد. مساحت بروزنزد این واحد به همراه واریزه‌های آن در حدود ۱۸۰ متر مربع است. بروزنزد بعدی مگنتیت در شرق کوه چربکی قرار دارد که شامل هماتیت-مگنتیت است و مساحت کمی در حدود ۱۵ متر مربع دارد (شکل ۹-B). در این نقطه مگنتیت‌ها بیشتر حالت نواری نشان می‌دهند. بروزنزد بعدی سنگ آهن در شرق گنبد نمکی است که طولی در حدود ۵۰ متر و ضخامتی در حدود ۱ متر دارد (شکل ۹-C).

کانه‌زایی آهن گسترش چندانی ندارد و فقط در سه نقطه به صورت بروزنزدهای کوچک دیده شده است. در جنوب کوه چربکی در بالای بروزنزدهای مارن و ایندریت توده‌ای از هماتیت-مگنتیت دیده می‌شود (شکل ۹-A) که گسترش بسیار کمی دارد و مگنتیت به صورت توده‌ای، بی‌شکل و گاه به حالت رگه‌چهای و رگه‌ای بسیار نازک دیده می‌شود. بررسی‌های صحرایی نشان می‌دهد که این توده گسترش عمقی چندانی



شکل ۷. A: بروزنزد لایه هماتیت-اولیژیست به همراه گج داخل واحد H1، B: لایه حاوی هماتیت-اولیژیست-انیدریت داخل واحد H4، C: بروزنزد لایه آهن در یک لایه حاوی انیدریت و D: لایه حاوی آهن و گج داخل واحد H1، در گنبد نمکی زندان

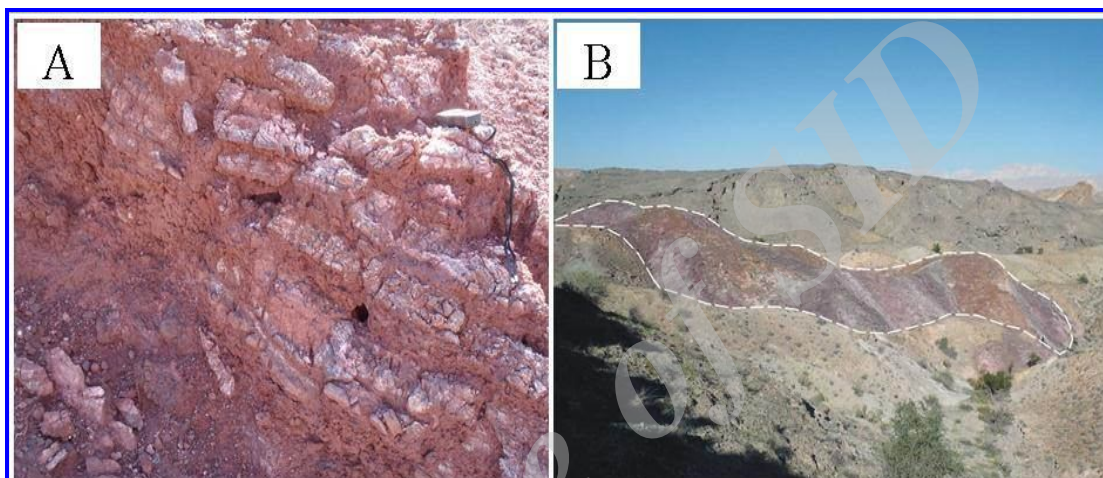
**Fig. 7.** A: Hematite- Oligist exposed layers with gypsum within unit H1, B: Hematite- Oligist -anhydrite layers within H4 layer, C: outcrop of iron layer in anhydrite layer, and D: Iron and gypsum layers within a H1 unit in Zendan salt dome

می‌توان به صورت پراکنده و بروزنزدهای کوچک مشاهده کرد. از نظر کانی‌شناسی می‌توان کانی‌های سولفیدی کالکوپیریت و پیریت، اغلب توده‌ای تا مکعبی شکل و در اندازه‌های متفاوت را در امتداد لایه‌بندی سنگ‌ها دید؛ اما بخش بزرگی از این کانی‌ها در اثر فرآیندهای سوپرژن به ملاکیت و به مقدار کم آزوریت

کانه‌زایی مس: کانه‌زایی مس چینه کران بوده و به صورت رگه‌چهای و پراکنده در امتداد لایه‌بندی واحدهای رسوبی و آذرآواری صورت گرفته است (شکل ۱۰-A و B). بالآمدن نمک در دوره‌های بعد باعث خردشدن و جابه‌جایی واحدهای سنگی شده است. از این‌رو، در حال حاضر کانه‌زایی مس را

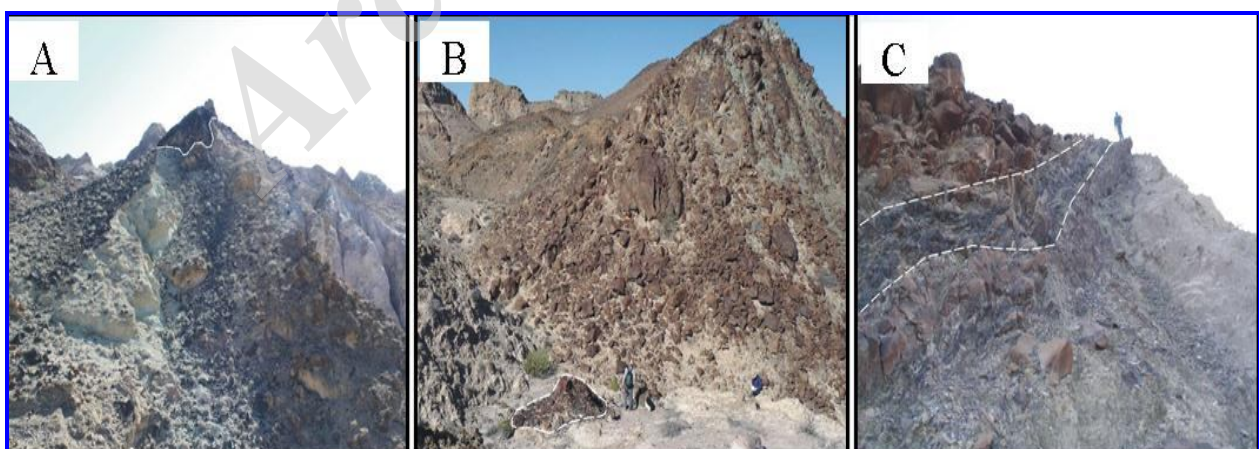
همچنین در برخی مقاطع رگه‌چه‌های درشت‌بلور کربنات ثانویه و تجمع بلورهای کوارتز و پیریت در زمینه سنگ دولومیتی برشی و سیلیسی شده (شکل ۱۱- C و D) دیده می‌شود. قطعات خرد سنگ ولکانیکی به همراه قطعات کوارتز زاویه‌دار در زمینه سیمان کربناتی آهن‌دار شده در برخی مقاطع به‌چشم می‌خورد (شکل ۱۱- E و F).

تبديل شده است. در قسمت‌های داخل توده دیبازی در سطح سنگ‌ها آثاری از کانه‌زایی مس به صورت مس آزاد و مالاکیت دیده می‌شود (شکل ۱۱- C و D). در مقاطع میکروسکوپی رگه‌چه‌های کربنات ثانویه در زمینه ریزدانه میکرایتی حاوی دانه‌های کوارتز و قطعات تخربی کوارتز، مسکویت و کانی اوپک در زمینه ریزدانه رسی دیده می‌شود (شکل ۱۱- A و B).



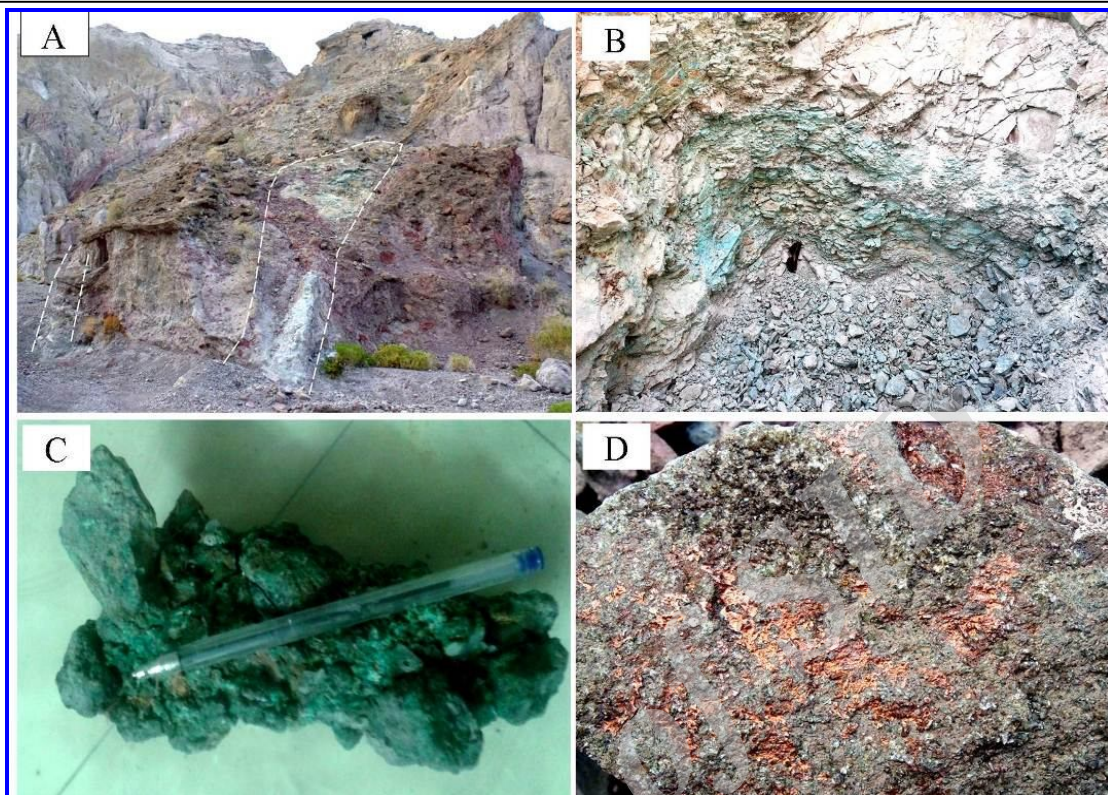
شکل ۸. A: نمایی از تناب و هماتیت و انیدریت در یکی از لایه‌های آهن‌دار و B: تناب از کانه‌زایی آهن به همراه انیدریت، مارن و شیل با عیار پایین (دید به سوی شمال)، در گنبد نمکی زندان

**Fig. 8.** A: View of alternating layers of hematite and anhydrite in the iron layers, and B: Alternating of iron mineralization associated with anhydrite, marl, and shale with low grade (view to north) in Zandan salt dome



شکل ۹. A: بروز کانه‌زایی هماتیت- مگنتیت در بالای تپه‌ای در واحد H1، B: بروز کوچکی از کانه‌زایی آهن و C: کانه‌زایی آهن به صورت هماتیت- مگنتیت در امتداد لایه‌بندی سنگ، تمام تصاویر از گند نمکی زندان است.

**Fig. 9.** A: Hematite -Magnetite mineralization outcrops on top of the hill in unit H1, B: A small outcrop of iron mineralization, and C: Hematite- Magnetite iron mineralization in rocks along bedding. All images are from Zandan salt dome.



شکل ۱۰: A: نمایی از کاندزایی مس در محدوده گنبد نمکی (دید به سوی شمال شرقی)، B: کاندزایی مس اکسیدی، C: کاندزایی مس مالاکیتی و D: کاندزایی مس طبیعی در سطح توده دیابازی

**Fig. 10.** A: View of copper mineralization within the salt dome (view to northeast), B: Oxidized copper mineralization, C: Copper minerals malachite, and D: Native copper mineralization in the dibasic pluton

اسپکیولاریت هستند (شکل A-۱۴). شکل B-۱۴ حضور  
تیغه‌های مگنتیت در داخل هماتیت را نشان می‌دهد.

### د گرسانی

بررسی‌های سنگ‌شناسی مقاطع نازک در محدوده گنبد نمکی زندان نشان می‌دهد که مهمترین د گرسانی‌های منطقه به شرح زیر است:

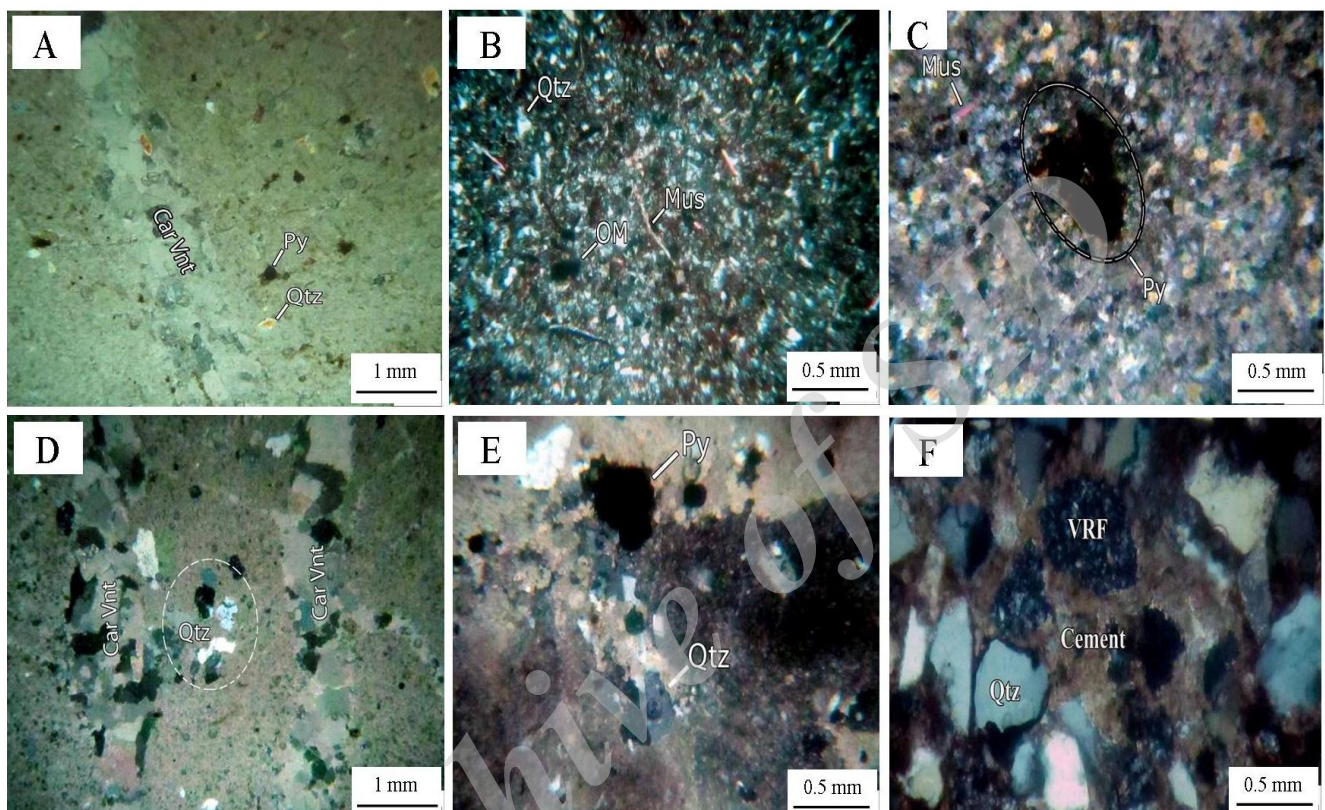
**د گرسانی پروپلیتیک:** در این د گرسانی، تجمعات اپیدوت، کلریت و کربنات‌ها به صورت محلی جاشین بلورهای پلاژیوکلاز و هورنبلند شده‌اند.

**د گرسانی سرسیتی:** در این نوع د گرسانی تمام سیلیکات‌های سنگ‌ساز اولیه مانند فلدسپات‌ها، میکاها و کانی‌های مافیک به سرسیت و کوارتز تبدیل می‌شوند. این د گرسانی نشان‌دهنده

در بررسی‌های میکروسکوپی از نمونه‌های کانه‌دار گنبد نمکی می‌توان کانه‌های اولیه و ثانویه مس‌دار و آهن‌دار را مشاهده کرد. کانه‌های اولیه مس‌دار اغلب کالکوپیریت و کمتر پیریت با بافت پراکنده هستند که به صورت دانه‌های بی‌وجهه، درشت‌بلور تا ریز‌بلور دیده می‌شوند و به نظر می‌رسد در داخل و حاشیه کالکوپیریت، تحت تأثیر فرآیندهای سوپرژن کالکوسبیت تشکیل شده است (شکل A-۱۲ و B). بلورهای کالکوسبیت گاه به صورت دانه‌های نیمه گردشده (شکل A-۱۳) دیده می‌شود و دانه‌های پیریت در حاشیه به اکسیدها و هیدروکسیدهای آهن تبدیل شده است (شکل B-۱۳). عمدۀ کانه‌های باطله همراه، کلسیت، ایندیریت، کربنات‌های مس (مالاکیت و آزوریت) و گاه کوارتز هستند که متن سنگ را تشکیل می‌دهند. کانه‌های آهن‌دار موجود در گنبد اغلب مگنتیت، هماتیت و

سرسیتی شده‌اند. بلورهای درشت فلدسپار به صورت انتخابی و نسبتاً شدید توسط تجمعات ریزدانه سرسیت ثانویه جانشین شده‌اند.

شست و شوی شدید عناصر قلیایی به جز پتابسیم است. در گند نمکی زندان بلورهای درشت پلاژیوکلاز و آلکالی فلدسپار و میکرولیت‌های ریز در خمیره به صورت ضعیف و فراگیر



شکل ۱۱. A: رگه‌چه کربنات ثانویه در زمینه ریزدانه میکراتیتی حاوی دانه‌های کوارتز و کانه فلزی، B: قطعات تخریبی ماسه کوارتزی در زمینه سیمان کربناتی. دانه نسبتاً درشت کانه فلزی در زمینه دیده می‌شود، D: رگه‌چه‌های درشت‌بلور کربنات ثانویه (دولومیتی) که زمینه اولیه را قطع کرده است، E: تجمع بلورهای کوارتز و پیریت در زمینه سنگ دولومیتی پرشی و سیلیسی شده و F: نمایی از قطعات خردسنج و لکانیکی به همراه قطعات کوارتز زاویه‌دار در زمینه سیمان کربناتی آهن‌دار شده (Qtz: کوارتز، VRF: خردسنج، Py: پیریت، Mus: مسکویت، OM: کانه فلزی، Car: کربنات، Vnt: رگه‌چه، Qtz: سنگ‌های لکانیکی، Cement: سیمان). عالیم اختصاری از ویتنی و اوونز (Whitney and Evans, 2010)

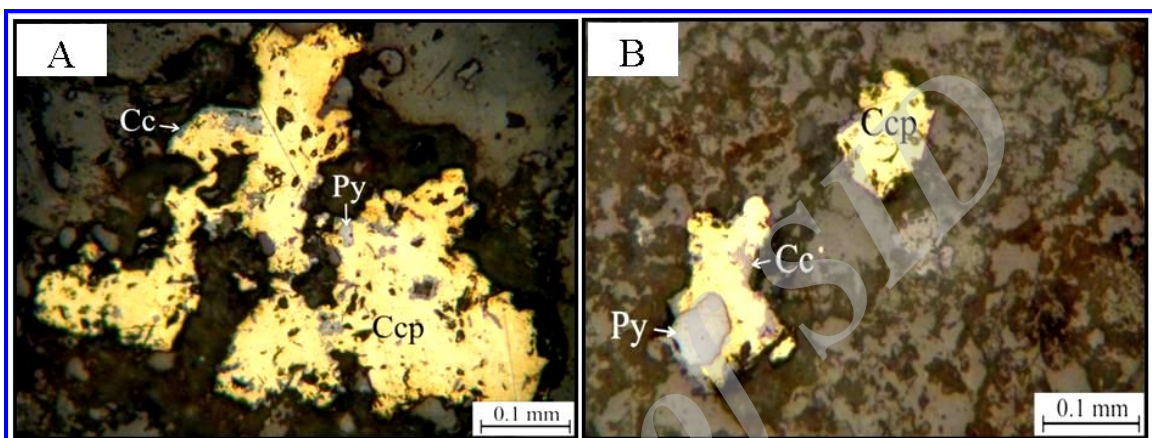
**Fig. 11.** A: Secondary carbonate veinlets in micrite matrix with quartz and fine ore minerals, B: Destructive Quartz fragment, muscovite and opaque minerals in the clay matrix, C: Destructive pieces of sandy quartz in a carbonate cement. Relatively coarse grained metallic minerals can be seen in the matrix, D: Coarse grain secondary viens (Dolomitic), which cut primary matrix. E: Accumulation of quartz and pyrite minerals in brecciate and silicified dolomite, F: View of volcanic rock fragments with angular quartz in ferrous carbonate cement (Qtz: quartz, Car:carbonate, Vnt: veinlet, Pyr: pyrite, Mus: muscovite, VRF: volcanic rock fragment OM: opaque minerals). Abbreviation from Whitney and Evans (2010).

Halal‌های دگرسانی مناطق معدنی گسترش فراوانی دارد (Robb, 2005). در دگرسانی کربناتی، تشکیل کانی‌های کربناته (کلسیت، دولومیت، مگنزیت و سیدریت) در طی دگرسانی در

سیلیسی و کربناتی شدن: در آلتراسیون سیلیسی، افزایش سیلیس در سنگ‌های دگرسان شده حاصل فرآیند شیشه‌زادایی، محلول‌های گرمابی و هیدرولیز کانی‌هاست که معمولاً در

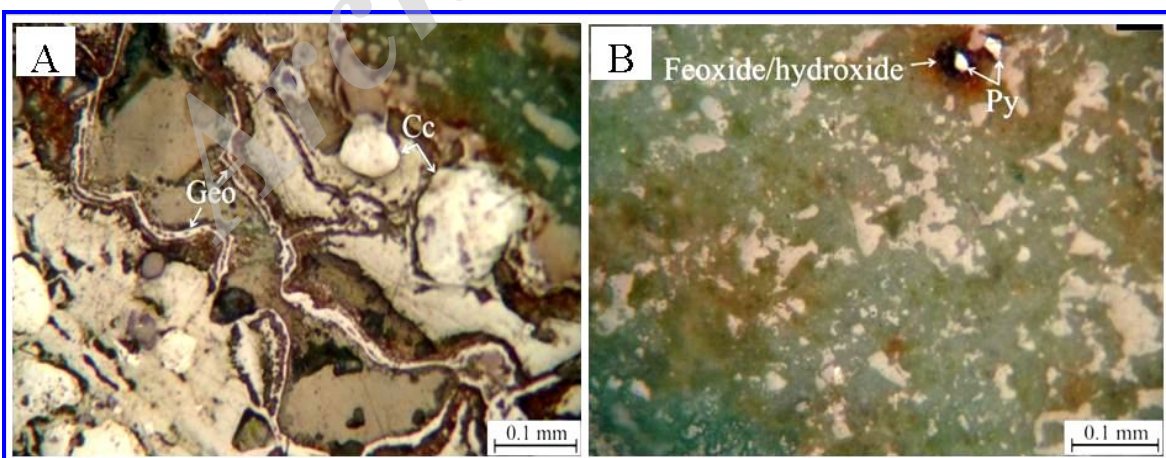
می‌شود. در این مقاطع، بلورهای الواری پلاژیوکلاز به صورت محلی و به مقدار کمی کربناتی شده‌اند. رگه‌چهای درشت‌بلور سیلیس-کربنات به صورت محلی خمیره را قطع کرده و درون آن جایگزین شده‌اند. کانه‌های فلزی به همراه رگه‌چه کوارتز-کربنات ثانویه تشکیل شده است.

یک سنگ توسط محلول‌هایی با فشار جزئی بالای دی اکسید کردن در PH قلیایی است که تشکیل هریک از انواع کانی‌های کربناته تابعی از ترکیب سنگ میزبان است (Robb, 2005). در گند نمکی زندان دگرسانی سیلیسی و کربناتی در مقیاس میکروسکوپی به صورت رگه‌ای تا رگه‌ای دیده



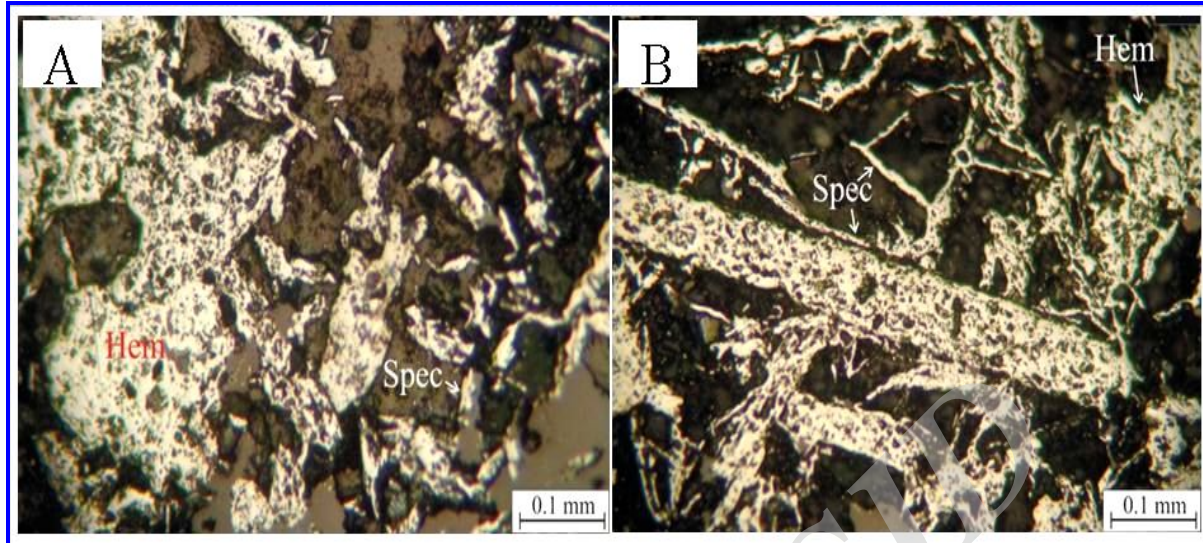
شکل ۱۲. A: درشت‌بلور کالکوپیریت همراه با بلور ریز پیریت، در حاشیه و در داخل کالکوپیریت، کالکوسیت دیده می‌شود و B: بلورهای ریز و بی‌وجه کالکوپیریت که با بلور بی‌وجه پیریت همراه است. (Cc: پیریت، Py: کالکوسیت، Ccp: کالکوپیریت). عالیم اختصاری از ویتنی و اونز (Whitney and Evans, 2010)

**Fig. 12.** A: Coarse grain chalcopyrite with fine grain pyrite. Chalcocite is seen within and in the rime of chalcopyrite, and B: Fine and amorphous chalcopyrite with associated amorphous pyrite (Py: pyrite, Cc: chalcocite, Ccp: Chalcopyrite). Abbreviation from Whitney and Evans (2010)



شکل ۱۳. A: بلورهای نیمه گردشده کالکوسیت در امتداد یک ریزدرزه. در حاشیه ریزدرزه گوتیت به همراه دیگر اکسیدها و هیدروکسیدهای آهن تشکیل شده است و B: ریزبلورهای بی‌وجه پیریت در متن سنگ که در حاشیه به اکسیدها و هیدروکسیدهای آهن تبدیل شده است. (Py: پیریت، Cc: کالکوسیت، Geo: گوتیت). عالیم اختصاری از ویتنی و اونز (Whitney and Evans, 2010)

**Fig. 13.** A: Semi- rounded of chalcocite along a microjoint. Goethite, Iron oxides and hydroxides are formed in the margin of the microjoint, and B: amorphous pyrite in the matrix of rock, which is changed to Iron oxides and hydroxides in the margin (Py: pyrite, Cc: chalcocite, Geo: goethite). Abbreviation from Whitney and Evans (2010)



شکل ۱۴. A: بلورهای هماتیت به همراه تیغه‌های اسپکیولاریت و B: کانی‌سازی هماتیت که تمام متن سنگ را در برگرفته است. در داخل هماتیت به صورت محدود مگنتیت باقی‌مانده است. (Mag: مگنتیت، Hem: هماتیت، Spec: اسپکیولاریت). علایم اختصاری از ویتنی و اوونز (Whitney and Evans, 2010)

**Fig. 14.** A: Hematite with bladed Specularite, and B: Hematite mineralization, which encompass all of rock. Magnetite is remained in to hematite. (Mag: magnetite, Hem: hematite, Spec: Specularite). Abbreviation from Whitney and Evans (2010)

دیاباز و سنگ آهن را از بین‌برده است، می‌توان تمرکزی مناسب از قطعات سنگ آهن را دید که به دلیل عیار و فراوانی مناسب می‌تواند مورد استخراج قرار گیرد. نکته جالب در مورد عیار نمونه‌های برداشت شده از سنگ آهن‌های پلاسربی این است که عیار آن بسیار بالاست. نمونه‌های ۲ و ۳ از قطعات سنگ آهن پلاسربی برداشت شده است که  $\text{FeO}$  آن در حدود ۶۸ درصد است (جدول ۳).

به طور کلی از نتایج آنالیزهای کانسنگ‌های آهن می‌توان روابط معناداری را بین میزان فراوانی عناصر با میزان آهن یافت. به طوری که روند تغییرات  $\text{TiO}_2$ ,  $\text{K}_2\text{O}$ ,  $\text{Al}_2\text{O}_3$  و  $\text{SiO}_2$  در مقابل  $\text{FeOt}$  نشان می‌دهد که با افزایش مقدار این عناصر مقدار کاهش می‌دهد (شکل ۱۵). مقدار  $\text{Ni}$  و  $\text{Cr}_2\text{O}_3$  با افزایش میزان  $\text{FeOt}$  افزایش می‌یابند (شکل ۱۶). مقدار  $\text{MnO}$  و  $\text{CaO}$  و  $\text{MgO}$  پراکنده‌گی نشان می‌دهند؛ اما تا حدودی با افزایش عیار آهن افزایش می‌یابند و این عناصر در کانسنگ‌های عیار بالاتر کاهش می‌یابند (شکل ۱۷).

در جدول ۱، آنالیز ۹ نمونه از رگه‌های معدنی آمده است. چنان‌که از داده‌های آنالیز این نمونه‌ها مشخص است، منطقه از لحاظ آهن و مس مستعد است. لایه‌های آهن از نظر عیار به دو دسته تقسیم می‌شوند: دسته اول، لایه‌های آهن که بدون تناوب لایه‌ای ایندریت و دارای عیار بالاتری هستند (شکل ۹، B و C). عیار آهن کل این نمونه‌ها از ۵۷/۶۷ درصد تا ۱/۵۲ درصد متغیر است (جدول ۲). عیار  $\text{FeO}$  از ۰/۲۸ تا ۱/۵۲٪ با میانگین ۰/۶٪ تغییر می‌کند که نشان‌دهنده ماهیت هماتیتی این لایه‌هاست. میانگین  $\text{Fe}_2\text{O}_3$  این لایه‌ها ۴۳/۸ درصد است. دسته دوم، لایه‌های آهن دار حاوی تناوب ایندریت که دارای عیار پایین آهن و مقدار بالایی از گوگرد هستند (شکل ۱۰). در برخی از تراس‌های قدیمی و نیز بخش‌هایی که در آن توده‌های دیاباز به طور کامل فرسایش یافته است، می‌توان تمرکزی از قطعات سنگ آهن را به همراه قطعات پراکنده دیاباز مشاهده کرد. در قسمت‌هایی که فرسایش به طور کامل بروزن زد

## جدول ۱. نتایج آنالیز نمونه‌های برداشت شده از بخش‌های حاوی کاندزایی آهن و مس، گندن نمکی زندان

**Table 1.** The results of analysis samples taken from parts including iron and copper mineralization, Zandan salt dome

Element	Unit	1	2	3	4	5	6	7	8	9
Au	ppb	7	<5	9	13	16	<5	27	8	11
Ag	ppm	0.28	0.42	1.3	0.29	2.2	0.6	1.3	0.73	2.3
As	ppm	5.5	2.6	2.6	5.8	7.6	3.3	5.6	35	21.7
Cd	ppm	0.22	0.4	19.6	9.6	11.9	7.2	3.5	5	5.5
Cu	ppm	19703	13458	139497	48042	9271	2058	11005	12275	3590
Fe	ppm	43932	30861	25388	36042	19904	12299	99054	13548	21294
Mo	ppm	21.3	3.1	77.8	39.5	14.8	4.5	28.4	13.5	17.4
Pb	ppm	7	105	818	510	291	127	214	172	192
S	ppm	300	691	3877	2922	4303	2358	338	3135	330
Sb	ppm	0.95	0.98	0.96	1.02	1.9	2.5	0.51	1.17	2.8
Th	ppm	6.5	5.8	4.5	9.3	3.9	1.3	2.8	3.6	2.4
Zn	ppm	118	143	1328	396	313	128	878	315	122

## جدول ۲. نتایج آنالیز شیمیایی نمونه‌های برداشت شده از بخش‌های آهن‌دار گندن نمکی زندان به روش XRF

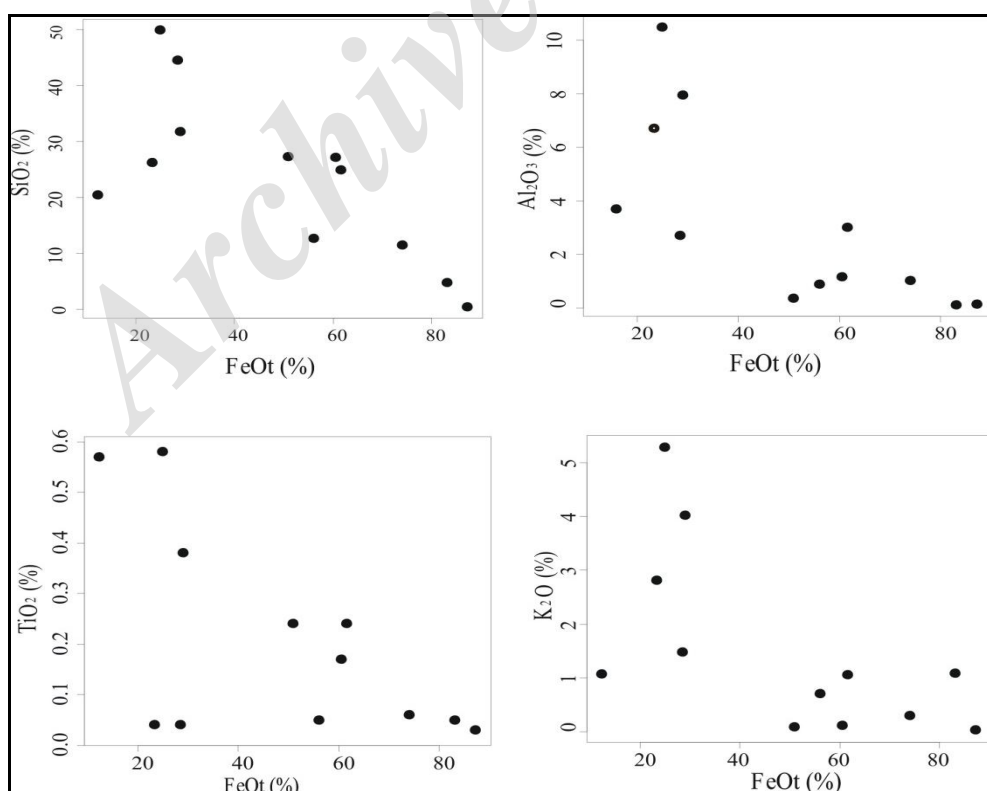
**Table 2.** The results of chemical analysis from iron-rich samples of Zandan salt dome using XRF method. The values based on weight percentage

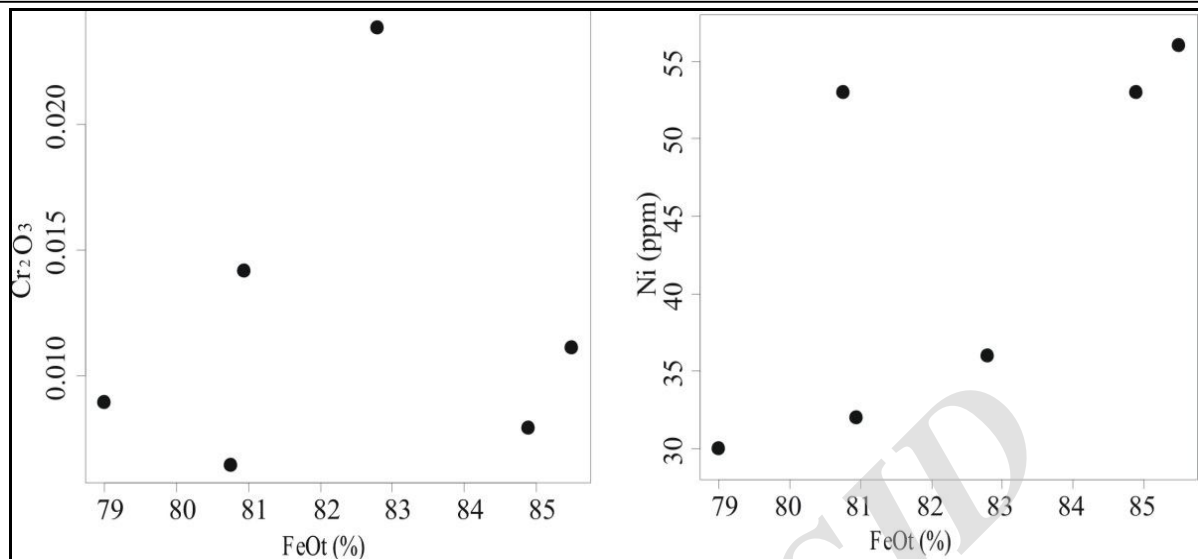
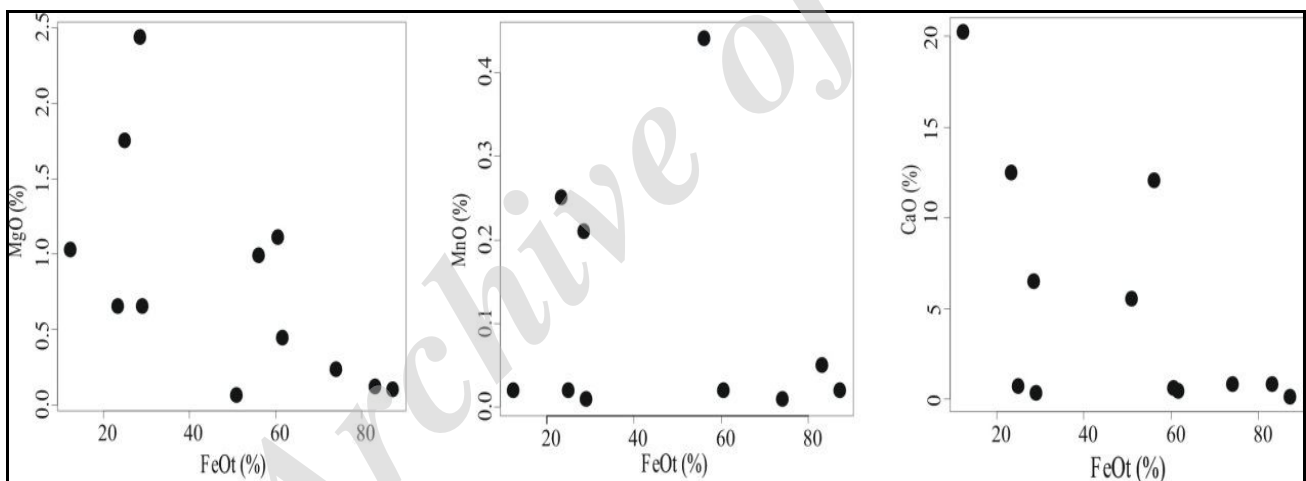
Element	1	2	3
SiO <sub>2</sub>	24.89	0.47	4.74
TiO <sub>2</sub>	0.24	0.03	0.05
Al <sub>2</sub> O <sub>3</sub>	3.01	0.12	0.11
Fe <sub>2</sub> O <sub>3</sub>	68.17	96.67	91.91
MnO	<	0.02	0.05
MgO	0.44	0.1	0.12
CaO	0.42	0.12	0.8
Na <sub>2</sub> O	0.06	0.03	0.07
K <sub>2</sub> O	1.05	0.02	1.08
P <sub>2</sub> O <sub>5</sub>	0.14	0.02	0.09
FeO	0.35	0.28	0.4
SO <sub>3</sub>	0.11	0.41	0.3
LOI	1.09	1.68	1.46

## جدول ۳. نتایج آنالیز شیمیایی نمونه‌های برداشت شده از برونزد هماتیت- مگنتیت و سنگ آهن پلاسی، گندم نمکی زندان

**Table 3.** The results of chemical analysis from outcrops of magnetite- Hematite and iron ore placer samples, Zandan salt dome

Element	1	2	3	4	5	6	7	8	9
SiO <sub>2</sub>	12.63	27.31	26.23	51.73	49.8	20.46	11.43	27.16	44.61
TiO <sub>2</sub>	0.05	0.24	0.04	0.38	0.58	0.57	0.06	0.17	0.04
Al <sub>2</sub> O <sub>3</sub>	0.88	0.34	6.7	7.94	10.47	3.87	1.00	1.16	2.7
Fe <sub>2</sub> O <sub>3</sub>	62.05	56.41	25.34	31.42	26.03	13.15	81.95	66.75	31.24
MnO	0.44	<	0.25	0.01	0.02	0.02	0.01	0.02	0.21
MgO	0.99	0.06	0.65	0.65	1.75	1.03	0.23	1.11	2.44
CaO	12.3	5.49	12.48	0.31	0.72	20.22	0.78	0.59	6.46
K <sub>2</sub> O	0.7	0.08	2.81	4.02	5.29	1.07	0.29	0.11	1.47
P <sub>2</sub> O <sub>5</sub>	0.07	0.14	0.06	0.11	0.16	0.19	0.02	0.13	0.6
FeO	0.28	0.28	0.65	0.76	1.52	0.55	0.41	0.55	0.41
Fe <sub>t</sub>	43.64	39.69	18.24	22.58	19.4	9.63	57.67	47.14	22.18
SO <sub>3</sub>	0.13	0.11	17.14	7.35	0.26	28.29	0.73	0.55	1.29
LOI	9.67	1.09	2.24	7.33	1.93	2.76	2.48	10.74	2.2

شکل ۱۵. کاهش میزان  $\text{TiO}_2$ ,  $\text{K}_2\text{O}$ ,  $\text{SiO}_2$  و  $\text{Al}_2\text{O}_3$  با افزایش میزان  $\text{FeOt}$  در گندم نمکی زندان**Fig. 15.** Reducing of the amount of  $\text{TiO}_2$ ,  $\text{K}_2\text{O}$ ,  $\text{SiO}_2$  and  $\text{Al}_2\text{O}_3$  with increasing of  $\text{FeOt}$  in Zandan salt dome

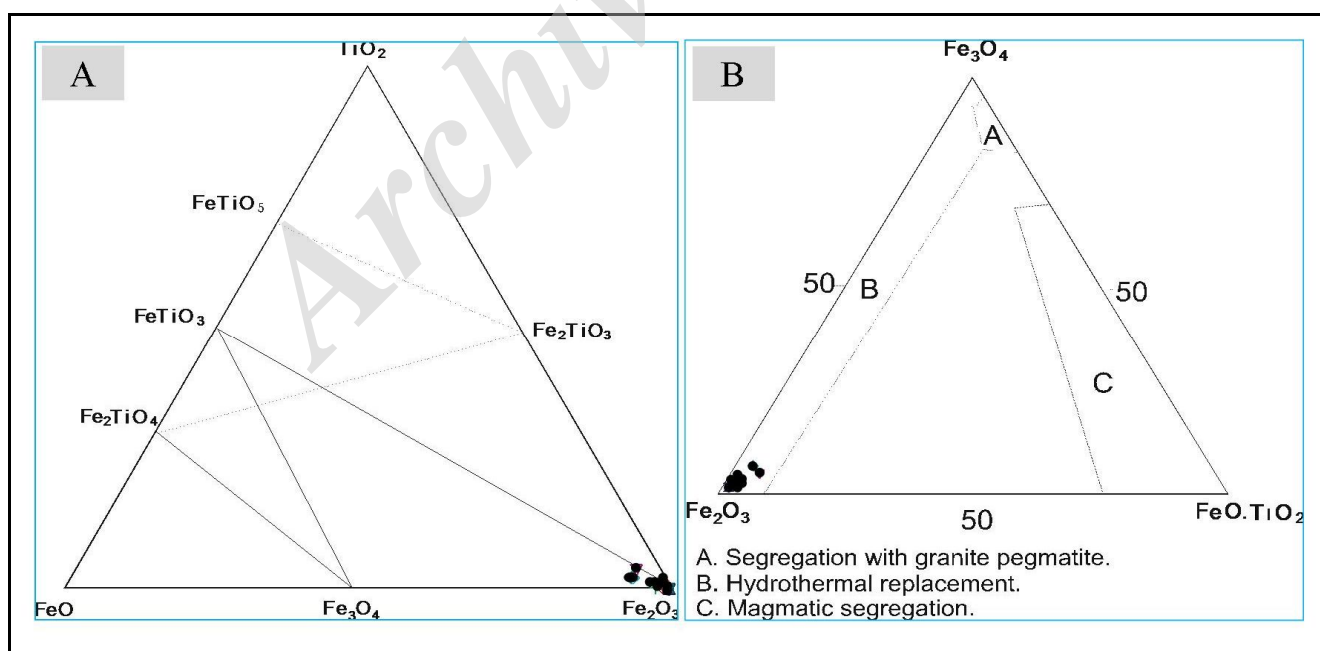
شکل ۱۶. افزایش میزان  $\text{Ni}$  و  $\text{Cr}_2\text{O}_3$  با افزایش میزان FeOt در گندن نمکی زندانFig. 16.  $\text{Cr}_2\text{O}_3$  and Ni increase with increasing of FeOt in Zandan salt domeشکل ۱۷. روند تغییرات  $\text{MgO}$ ,  $\text{MnO}$  و  $\text{CaO}$  نسبت به FeOt در گندن نمکی زندانFig. 17. Trend of variation of  $\text{MgO}$ ,  $\text{MnO}$ , and  $\text{CaO}$  versus FeOt in Zandan salt dome

این نوع کانسارها دگرسانی سدیک-کلسیک گسترش کم، دگرسانی پتاسیک گسترش وسیع و کانه‌زایی سولفیدی (Barton and Johnson, 2004) اکسیدی صورت گرفته است. با توجه به سنگ میزان، دگرسانی در کانسارهای آهن گرمابی سرچشمه‌گرفته از سیالات تبخیری متفاوت است. دگرسانی‌های کلریتی و کربناتی در سنگ میزان مافیکی تا حدوداً و دگرسانی سدیک، پتاسیک، سیلیسی و سرسیتی در سنگ میزان اسیدی به وجود می‌آید. سیال به وجود آورنده این

**بحث و نتیجه‌گیری**  
سیالات با منشأ ماقمایی و سیالات با منشأ تبخیری دو نوع سیالی هستند که می‌توانند منشأ سیالات کانی‌ساز کانسارهای آهن هیدروترمال باشند (Barton and Johnson, 2004). در صورت مشاهده دگرسانی عمیق سدیک-کلسیک، دگرسانی نیمه عمیق پتاسیک و دگرسانی کم عمق سیلیسی و سرسیتی می‌توان منشأ سیال کانی‌ساز را در کانسارهای پوروفیری از نوع ماقمایی در نظر گرفت (Barton and Johnson, 2004).

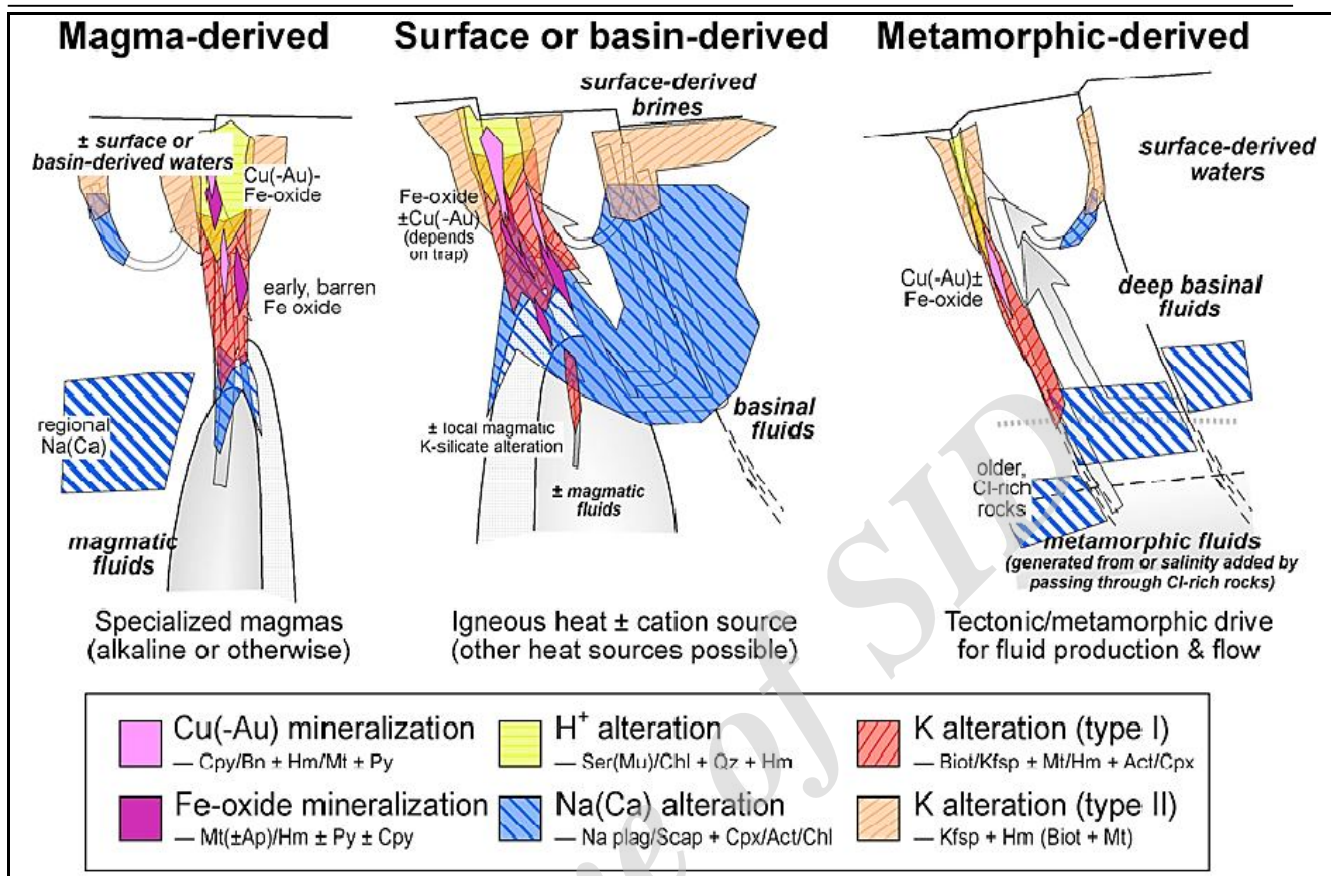
پروپلیتی، سیلیسی و کربناتی شدن نشان می‌دهد. کانسار آهن زندان ییشتر با انواع غیرماگمایی شباهت دارد. با مقایسه ویژگی‌های آهن گند نمکی زندان با کانسارهای رسوی آهن دنیا (جدول ۴) به نظر می‌رسد منشأ آن مشابه کانسارهای آهن رسویی- نواری (Klein, 2005) و همچنین کانسار آهن تنگه زاغ (Nokhbatolfoghahai, 2014) باشد. در این صورت دگرسانی‌های گرمایی گسترده در این گند مانند پروپلیتی، سرسیتی، کربناتی و سیلیسی با کانی‌سازی آهن مرتبط است. آب‌های شور حاصل از گند نمکی می‌توانند تأمین کننده یون کلرید (به عنوان حمل کننده آهن) در سیال باشند و ماگمای بازالتی در منطقه می‌تواند به صورت موتور گرمایی عمل کرده باشد و منبعی مناسب را برای تأمین یون آهن فراهم آورده باشد. حضور مقادیر کم عناصر نامتحرك در گند نمکی زندان و نوع دگرسانی‌های موجود در آن، می‌تواند دلیلی بر منشأ سیالی شورابهای برای این کانسار آهن باشد و به نظر منبع حرارتی این سیال سنگ‌های دیبازی است.

کانسارها قبیر از گوگرد، اکسیدان و با شوری بالاست (Barton and Johnson, 2004). دگرسانی سدیک توسط سیالاتی با شوری بالا ایجاد می‌شود که یکی از فرآگیرترین دگرسانی‌ها در کانسارهای آهن گرمایی است (Arencibia and Clark, 1996). وجود مقادیر بالای عناصر نامتحركی چون  $\text{P}$  و  $\text{V}$  از نشانه‌های کانسنگ‌های آهن ماگمایی است (Nystrom and Henriquez, 1994). شکل A-۱۸ ترکیب شیمیایی کانه‌های آهن موجود در گند نمکی زندان در نمودار سه‌تایی  $\text{FeO}-\text{Fe}_2\text{O}_3-\text{TiO}_2$  را نشان می‌دهد و سیالات کانه‌ساز در این نوع کانسارها از شورابهای تبخیری سرچشم‌گرفته و توده نفوذی منبع حرارتی، منشأ فلزات و کنترل کننده نوع دگرسانی است (شکل B-۱۸). ترکیب سنگ‌های آذرین در گند نمکی زندان بازالتی بوده که در سازند هرمز با سن اینفراکامبرین وارد شده‌اند. مدل دگرسانی‌های کانسارهای ماگمایی و غیر ماگمایی (شکل ۱۹) و دگرسانی‌های موجود در منطقه دگرسانی‌های سرسیتی،



شکل ۱۸. A: ترکیب شیمیایی کانه‌های آهن موجود در گند نمکی زندان در نمودار سه‌تایی  $\text{FeO}-\text{Fe}_2\text{O}_3-\text{TiO}_2$  و B: موقعیت کانه‌های آهن گند نمکی زندان در محدوده هیدروترمالی

**Fig. 18.** A: The chemical composition of iron ore in Zandan salt dome at the ternary diagram  $\text{FeO}-\text{Fe}_2\text{O}_3-\text{TiO}_2$ , and B: Iron ore position within the hydrothermal Zandan salt dome



شکل ۱۹. مدلی شماتیک از گسترش دگرسانی در کانسارهای گرمابی با منشأ سیالات ماقمایی و غیرماقمایی، منطقه پورتر استرالیای غربی (Barton and Johnson, 2004)

Fig. 19. Schematic model of development of hydrothermal alteration in hydrothermal deposits with magmatic and non-magmatic fluids origin, Porter area, Western Australia (Barton and Johnson, 2004)

کاهش می‌دهد؛ اما با افزایش مقدار FeO و Cr<sub>2</sub>O<sub>3</sub> FeO افزایش می‌یابند. مقدار MnO، CaO و MgO تا حد معنی‌با افزایش عیار آهن افزایش می‌یابند و در کانسنگ‌های عیار بالاتر این عناصر کاهش نشان می‌دهند. حضور مقدار کم عناصر نامتحرك در گند نمکی زندان و نوع دگرسانی‌های موجود در آن، می‌تواند دلیلی بر منشأ سیالی سورابهای برای کانسار آهن این گند باشد. ذکر این نکته ضروری است که با توجه به مشابهت سنی، زمین‌شناسی و لیتوژوژی منطقه و از همه مهمتر وجود دگرسانی‌های همراه به نظر VMS می‌رسد، بتوان این کانسار را در ردیف کانسارهای نوع طبقه‌بندی کرد که به بررسی‌های دقیق‌تر و بیشتر در منطقه نیاز دارد.

نتایج حاصل از این مقاله نشان می‌دهد که کانه‌زایی آهن در گند نمکی زندان اغلب به صورت مگنتیت، هماتیت با کانه‌های مس دار پیریت و کالکوپیریت است. فراوان‌ترین شکل رخداد کانه‌زایی آهن گند نمکی زندان به صورت لایه‌های هماتیت-لیمونیت-اویلیزیت (خاک سرخ) است که معمولاً به صورت لایه‌ایی پراکنده دیده می‌شوند. همچنین تابوی از لایه‌های کانه‌زایی آهن با لایه‌های گچ (اغلب انیدریت) در منطقه بروزن زد دارد. فراوان‌ترین و غالب‌ترین شکل آهن منطقه، هماتیت است. به طور کلی از نتایج آنالیزهای کانسنگ‌های آهن می‌توان روابط معناداری را بین میزان فراوانی عناصر با میزان آهن یافت؛ به طوری که روند تغییرات TiO2, K2O, SiO2 و Al2O3 در مقابل FeO نشان می‌دهد که با افزایش مقدار این عناصر مقدار

جدول ۴. مقایسه کانسراهای آهن زندان با برخی کانسراهای آهن دنیا

Table 4. Comparison of Zandan iron deposit with some iron deposits in the world

Zandan Iron	IOCG Deposits (Fe-Cu-Au)	Banded iron formations (Rapytan)	Banded iron formations (Algoma)	Banded iron formations (superior)	Calcium Skarn	Ore properties
Infera-Cambrian	Proterozoic to Holocene	450-800	Archean	Early Proterozoic	Mesozoic and Cenozoic	Age (Ma)
Continental margin	Subduction zone, extensional tectonic regime	Continental margin	Volcanic arc	Offshore and platform area	Island arcs and continental margins	Tectonic setting
Evaporate and carbonate rocks	Tholeitic to calc-alkaline rocks, such as gabbro to granodiorite rocks and metasedimentary rocks	Sandstone, Limestone, Dolomite and Shallow sedimentary rocks	Greywacke and Volcanic rocks	Quartzite, Dolomite, Conglomerate and Chert	Stocks and dykes of gabbro and sedimentary and volcanic rocks	Host rock
Lens	Vein , massive	Layer, mass	Often as a layered	Layered	Stratiform, massive, lenses	Form of deposit
Massive, layered	Shear to irregular, lenses, banded	Layerd, replacement, massive	Massive, layered	Massive, layered	Massive, layered	
Hematite, magnetite, goethite, pyrite, chalcopyrite, chalcocite	Magnetite, hematite, apatite, bornite Chalcopyrite ± gold±	pyrite ± magnetite ± hematite Pyrrhotite	Hematite, gold magnetite, pyrite Pyrrhotite Siderite,	Hematite, magnetite, siderite	Magnetite, hematite, chalcopyrite, pyrite, cobaltite, sphalerite	Mineralogy
Propylitic, Prhnyt, silica and carbonate	sericite, silica, chlorite, actinolite	Propylitic	-	-	Propylitic	Alteration
structural	Lithological and structural	Lithological and structural	Stratigraphic horizons rich in iron with a small amount of classical sediment	Iron-rich sedimentary stratigraphic horizons with small amounts classical sediment	structural and stratigraphy	Control agents
9-57 % iron	>1000 mt , Cu: 0.8- 1.6, >%20Fe, Au: 0.26- 0.8 ppm	-	3-150 million tons - 16- 45% iron	1 million- 16- 30 % iron	3-150 million tones, 40 to 50 % iron	grade and tonnage
This study	Hitzman, et al., 1992,	Barton and Johnson, 2004	Klein, 2005	Gross,1996; Maynard, 1985,	Gross,1996; Maynard, 1985,	Reference

تمام معدن کاران تشك و قدردانی می‌کند.

### قدردانی

نویسنده‌گان از زحمت‌های فراوان آقایان اشرف‌پور، حقیقی و

### References

- Ahmadzadeh Heravi, M., Houshmandzadeh, A. and Nabavi, M.H., 1991. New concepts of Hormuz formations, stratigraphy and the problem of salt diapirism in south of Iran. *International Journal of Geosciences*, 3(7):1–22.
- Aghanabati, A., 2007. *Geology of Iran*. Geological Survey of Iran, Tehran, 586 pp.
- Alavi, M., 1991. Tectonic map of the Middle East, scale 1:5,000,000. Geological Survey of Iran.
- Alian, F. and Bazamad, M., 2014. Petrography of Zendan salt dome (Hara), Bandar Lengeh. 6th Symposium of Iranian society of Economic Geology, Sistan and Baluchestan University, Zahedan, Iran.
- Arencibia, O.N. and Clark, A.H., 1996. Early magnetite-amphibole-plagioclase alteration-mineralization in the Island copper porphyry copper-gold-molybdenum deposit, British Columbia. *Economic Geology*, 93(2): 402–438.
- Ashrafpour, A. and Asadzade, A., 2002. Geology and interpretation of ASTER and ATEM satellite within the Zandan salt dome. 33th national geosciences symposium, Geological Survey of Iran, Tehran, Iran.
- Attapour, H. and Aftabi, A., 2011. New mode Rapitan banded Iron for Hormoz Iron deposit, Bandar Abbas. 33th national geosciences symposium, Geological Survey of Iran, Tehran, Iran.
- Barton, M.D. and Johnson, D.A., 2004. Footprints of Fe oxide (Cu-Au) systems. Geological Survey of Western Australia, University of Western Australia, Report 33, 116 pp.
- Gross, G.A., 1996. Iron ranges of the Labrador geosyncline, Iron deposits in Canada. Geological Survey of Canada, Toronto, Report 22, 179 pp.
- Hitzman, M.W., Oreskes, N. and Einaudi, M.T., 1992. Geological Characteristics and tectonic setting of Proterozoic iron-oxide (Cu-U-Au-REE) deposits. *Precambrian Research*, 58(1–4): 241–287.
- Klein, C., 2005. Some Precambrian banded iron-formations (BIFs) from around the world: Their age, geologic setting, mineralogy, metamorphism, geochemistry, and origins. *American Mineralogist*, 90(10):1473–1499.
- Maynard, J.B., 1985. Geochemistry of oolitic iron ores, an electron microprobe study. *Economic Geology*, 81(6): 1473–1483.
- Nadari, N., Mortazave, M. and Masoudi, M., 2002. Detecting basic lithological units in Zendan salt dome by use of spectral angle mapping. 33th national geosciences symposium, Geological Survey of Iran, Tehran, Iran.
- Nokhbatolfoghahai, A., 2014. Investigation of Karmostaj, Paskhand, and Tang-e-Zagh Salt Domes within Larestan and Bastak, Southern Iran. Ph.D. Thesis, Islamic Azad University, Science and Research Branch, Tehran, Iran, 324 pp.
- Nystrom, J.O. and Henriquez, F., 1994. Magmatic features of iron ore of Kiruna type in Chile and Sweden. *Economic Geology*, 89(4): 820–839.
- Parker, L.T., 1985. Geological map of Bandar Lengeh, scale 1:100,000. National Iranian Oil Company.
- Ramezani, J. and Tucker, R.D., 2003. The Saghand region, central Iran: U-Pb geochronology, petrogenesis and implications for Gondwana tectonics. *American Journal of Science*, 7(303): 622–665.
- Robb, L., 2005. *Introduction to Ore-Forming Processes*. Black Well Publishing Company, UK, 373 pp.
- Sabzei, M., 1986. The end of the legend's subduction, subduction specific examples of potential fracture zone of the Zagros. 4th Meeting of Earth Sciences, State Geological Survey, Tehran, Iran.
- Stocklin, J., 1968. Structural history and tectonic of Iran: a review. *American Association of Petroleum Geologists Bulletin*, 52(7): 1229–1258.
- Whitney, D.L. and Evans, B.W., 2010. Abbreviations for names of rock-forming

- minerals. *American Mineralogist*, 88(95): 185–187.
- Winchester, J.A. and Floyd, P.A., 1977. Geochemical discrimination of different magma series and their differentiation products using immobile elements. *Chemical Geology*, 20(4): 325–343.

Archive of SID